

k: Coeficiente que depende de la clase de la sección.

$$k : \underline{0.30}$$

E: Módulo de elasticidad.

$$E : \underline{210000} \text{ MPa}$$

f_{vf}: Límite elástico del acero del ala comprimida.

$$f_{vf} : \underline{265.00} \text{ MPa}$$

Siendo:

$$f_{vf} = f_y$$

Resistencia a tracción (CTE DB SE-A, Artículo 6.2.3)

Se debe satisfacer:

$$\eta = \frac{N_{t,Ed}}{N_{t,Rd}} \leq 1$$

$$\eta : \underline{0.008} \quad \checkmark$$

El esfuerzo solicitante de cálculo pésimo se produce en un punto situado a una distancia de 6.859 m del nudo N3, para la combinación de acciones 1.35·PP+1.5·Q+0.9·V(90°)H2+0.75·N(EI).

N_{t,Ed}: Axil de tracción solicitante de cálculo pésimo.

$$N_{t,Ed} : \underline{25.57} \text{ kN}$$

La resistencia de cálculo a tracción **N_{t,Rd}** viene dada por:

$$N_{t,Rd} = A \cdot f_{yd}$$

$$N_{t,Rd} : \underline{3381.90} \text{ kN}$$

Donde:

A: Área bruta de la sección transversal de la barra.

$$A : \underline{134.00} \text{ cm}$$

f_{yd}: Resistencia de cálculo del acero.

$$f_{yd} : \underline{252.38} \text{ MPa}$$

$$f_{yd} = f_y / \gamma_{M0}$$

Siendo:

f_y: Límite elástico. (CTE DB SE-A, Tabla 4.1)

$$f_y : \underline{265.00} \text{ MPa}$$

γ_{M0}: Coeficiente parcial de seguridad del material.

$$\gamma_{M0} : \underline{1.05}$$

Resistencia a compresión (CTE DB SE-A, Artículo 6.2.5)

Se debe satisfacer:

$$\eta = \frac{N_{c,Ed}}{N_{c,Rd}} \leq 1$$

$$\eta : \underline{0.029} \quad \checkmark$$

$$\eta = \frac{N_{c,Ed}}{N_{b,Rd}} \leq 1$$

$$\eta : \underline{0.061} \quad \checkmark$$

El esfuerzo solicitante de cálculo pésimo se produce en el nudo N3, para la combinación de acciones 0.8·PP+1.5·V(180°)H1.

N_{c,Ed}: Axil de compresión solicitante de cálculo pésimo.

$$N_{c,Ed} : \underline{92.47} \text{ kN}$$

La resistencia de cálculo a compresión $N_{c,Rd}$ viene dada por:

$$N_{c,Rd} = A_{ef} \cdot f_{yd} \quad N_{c,Rd} : \underline{3179.39} \text{ kN}$$

Donde:

Clase: Clase de la sección, según la capacidad de deformación y de desarrollo de la resistencia plástica de los elementos planos comprimidos de una sección. **Clase :** 4

A_{ef}: Área de la sección eficaz para las secciones de clase 4. **A_{ef} :** 125.98 cm

f_{yd}: Resistencia de cálculo del acero. **f_{yd} :** 252.38 MPa

$$f_{yd} = f_y / \gamma_{M0}$$

Siendo:

f_y: Límite elástico. (CTE DB SE-A, Tabla 4.1) **f_y :** 265.00 MPa

γ_{M0}: Coeficiente parcial de seguridad del material. **γ_{M0} :** 1.05

Resistencia a pandeo: (CTE DB SE-A, Artículo 6.3.2)

La resistencia de cálculo a pandeo $N_{b,Rd}$ en una barra comprimida viene dada por:

$$N_{b,Rd} = \chi \cdot A_{ef} \cdot f_{yd} \quad N_{b,Rd} : \underline{1513.34} \text{ kN}$$

Donde:

A_{ef}: Área de la sección eficaz para las secciones de clase 4. **A_{ef} :** 125.98 cm

f_{yd}: Resistencia de cálculo del acero. **f_{yd} :** 252.38 MPa

$$f_{yd} = f_y / \gamma_{M1}$$

Siendo:

f_y: Límite elástico. (CTE DB SE-A, Tabla 4.1) **f_y :** 265.00 MPa

γ_{M1}: Coeficiente parcial de seguridad del material. **γ_{M1} :** 1.05

χ: Coeficiente de reducción por pandeo.

$$\chi = \frac{1}{\Phi + \sqrt{\Phi^2 - (\bar{\lambda})^2}} \leq 1 \quad \chi_y : \underline{0.99}$$

$$\chi_z : \underline{0.48}$$

Siendo:

$$\Phi = 0.5 \cdot \left[1 + \alpha \cdot (\bar{\lambda} - 0.2) + (\bar{\lambda})^2 \right] \quad \phi_y : \underline{0.53}$$

$$\phi_z : \underline{1.40}$$

α: Coeficiente de imperfección elástica.

$$\alpha_y : \underline{0.21}$$

$$\alpha_z : \underline{0.34}$$

λ̄: Esbeltez reducida.

$$\bar{\lambda} = \sqrt{\frac{A_{ef} \cdot f_y}{N_{cr}}} \quad \bar{\lambda}_y : \underline{0.24}$$

$$\bar{\lambda}_z : \underline{1.20}$$

N_{cr}: Axil crítico elástico de pandeo, obtenido como el menor de los siguientes valores:

$$N_{cr} : \underline{2303.10} \text{ kN}$$

N_{cr,y}: Axil crítico elástico de pandeo por flexión respecto al eje Y.

$$N_{cr,y} : \underline{57940.04} \text{ kN}$$

N_{cr,z}: Axil crítico elástico de pandeo por flexión respecto al eje Z.

$$N_{cr,z} : \underline{2303.10} \text{ kN}$$

$N_{cr,T}$: Axil crítico elástico de pandeo por torsión.

$N_{cr,T}$: ∞

Resistencia a flexión eje Y (CTE DB SE-A, Artículo 6.2.6)

Se debe satisfacer:

$$\eta = \frac{M_{Ed}}{M_{c,Rd}} \leq 1$$

η : 0.120 ✓

Para flexión positiva:

El esfuerzo solicitante de cálculo pésimo se produce en el nudo N3, para la combinación de acciones $0.8 \cdot PP + 1.5 \cdot V(0^\circ)H4 + 0.75 \cdot N(R)2$.

M_{Ed}^+ : Momento flector solicitante de cálculo pésimo.

M_{Ed}^+ : 84.41 kN·m

Para flexión negativa:

El esfuerzo solicitante de cálculo pésimo se produce en el nudo N3, para la combinación de acciones

$1.35 \cdot PP + 1.5 \cdot V(180^\circ)H3 + 0.75 \cdot N(R)1$.

M_{Ed}^- : Momento flector solicitante de cálculo pésimo.

M_{Ed}^- : 84.42 kN·m

El momento flector resistente de cálculo $M_{c,Rd}$ viene dado por:

$$M_{c,Rd} = W_{pl,y} \cdot f_{yd}$$

$M_{c,Rd}$: 703.39 kN·m

Donde:

Clase: Clase de la sección, según la capacidad de deformación y de desarrollo de la resistencia plástica de los elementos planos de una sección a flexión simple.

Clase: 1

$W_{pl,y}$: Módulo resistente plástico correspondiente a la fibra con mayor tensión, para las secciones de clase 1 y 2.

$W_{pl,y}$: 2787.00 cm

f_{yd} : Resistencia de cálculo del acero.

f_{yd} : 252.38 MPa

$$f_{yd} = f_y / \gamma_{M0}$$

Siendo:

f_y : Límite elástico. (CTE DB SE-A, Tabla 4.1)

f_y : 265.00 MPa

γ_{M0} : Coeficiente parcial de seguridad del material.

γ_{M0} : 1.05

Resistencia a pandeo lateral: (CTE DB SE-A, Artículo 6.3.3.2)

No procede, dado que las longitudes de pandeo lateral son nulas.

Resistencia a flexión eje Z (CTE DB SE-A, Artículo 6.2.6)

Se debe satisfacer:

$$\eta = \frac{M_{Ed}}{M_{c,Rd}} \leq 1$$

η : 0.530 ✓

Para flexión positiva:

El esfuerzo solicitante de cálculo pésimo se produce en el nudo N3, para la combinación de acciones $1.35 \cdot PP + 1.05 \cdot Q + 1.5 \cdot V(90^\circ)H2 + 0.75 \cdot N(EI)$.

M_{Ed}^+ : Momento flector solicitante de cálculo pésimo.

$M_{Ed}^+ : \underline{53.66} \text{ kN}\cdot\text{m}$

Para flexión negativa:

El esfuerzo solicitante de cálculo pésimo se produce en el nudo N3, para la combinación de acciones $0.8 \cdot PP + 1.5 \cdot V(180^\circ)H1$.

M_{Ed}^- : Momento flector solicitante de cálculo pésimo.

$M_{Ed}^- : \underline{49.61} \text{ kN}\cdot\text{m}$

El momento flector resistente de cálculo $M_{c,Rd}$ viene dado por:

$$M_{c,Rd} = W_{pl,z} \cdot f_{yd}$$

$M_{c,Rd} : \underline{101.20} \text{ kN}\cdot\text{m}$

Donde:

Clase: Clase de la sección, según la capacidad de deformación y de desarrollo de la resistencia plástica de los elementos planos de una sección a flexión simple.

Clase : 1

$W_{pl,z}$: Módulo resistente plástico correspondiente a la fibra con mayor tensión, para las secciones de clase 1 y 2.

$W_{pl,z} : \underline{401.00} \text{ cm}$

f_{yd} : Resistencia de cálculo del acero.

$f_{yd} : \underline{252.38} \text{ MPa}$

$$f_{yd} = f_y / \gamma_{M0}$$

Siendo:

f_y : Límite elástico. (CTE DB SE-A, Tabla 4.1)

$f_y : \underline{265.00} \text{ MPa}$

γ_{M0} : Coeficiente parcial de seguridad del material.

$\gamma_{M0} : \underline{1.05}$

Resistencia a corte Z (CTE DB SE-A, Artículo 6.2.4)

Se debe satisfacer:

$$\eta = \frac{V_{Ed}}{V_{c,Rd}} \leq 1$$

$\eta : \underline{0.020} \checkmark$

El esfuerzo solicitante de cálculo pésimo se produce para la combinación de acciones $0.8 \cdot PP + 1.5 \cdot V(180^\circ)H3 + 0.75 \cdot N(R)1$.

V_{Ed} : Esfuerzo cortante solicitante de cálculo pésimo.

$V_{Ed} : \underline{18.16} \text{ kN}$

El esfuerzo cortante resistente de cálculo $V_{c,Rd}$ viene dado por:

$$V_{c,Rd} = A_v \cdot \frac{f_{yd}}{\sqrt{3}}$$

$V_{c,Rd} : \underline{889.57} \text{ kN}$

Donde:

A_v : Área transversal a cortante.

$A_v : \underline{61.05} \text{ cm}$

$$A_v = h \cdot t_w$$

Siendo:

h : Canto de la sección.

$h : \underline{550.00} \text{ mm}$

t_w : Espesor del alma.

$t_w : \underline{11.10} \text{ mm}$

f_{vd} : Resistencia de cálculo del acero. f_{vd} : 252.38 MPa

$$f_{vd} = f_y / \gamma_{M0}$$

Siendo:

f_y : Límite elástico. (CTE DB SE-A, Tabla 4.1) f_y : 265.00 MPa

γ_{M0} : Coeficiente parcial de seguridad del material. γ_{M0} : 1.05

Abolladura por cortante del alma: (CTE DB SE-A, Artículo 6.3.3.4)

Aunque no se han dispuesto rigidizadores transversales, no es necesario comprobar la resistencia a la abolladura del alma, puesto que se cumple:

$$\frac{d}{t_w} < 70 \cdot \varepsilon \quad \mathbf{46.45 < 65.92} \quad \checkmark$$

Donde:

λ_w : Esbeltez del alma. λ_w : 46.45

$$\lambda_w = \frac{d}{t_w}$$

$\lambda_{m\acute{a}x}$: Esbeltez máxima. $\lambda_{m\acute{a}x}$: 65.92

$$\lambda_{max} = 70 \cdot \varepsilon$$

ε : Factor de reducción. ε : 0.94

$$\varepsilon = \sqrt{\frac{f_{ref}}{f_y}}$$

Siendo:

f_{ref} : Límite elástico de referencia. f_{ref} : 235.00 MPa

f_y : Límite elástico. (CTE DB SE-A, Tabla 4.1) f_y : 265.00 MPa

Resistencia a corte Y (CTE DB SE-A, Artículo 6.2.4)

Se debe satisfacer:

$$\eta = \frac{V_{Ed}}{V_{c,Rd}} \leq 1 \quad \eta : \mathbf{0.031} \quad \checkmark$$

El esfuerzo solicitante de cálculo pésimo se produce en el nudo N3, para la combinación de acciones 1.35·PP+1.05·Q+1.5·V(90°)H2+0.75·N(EI).

V_{Ed} : Esfuerzo cortante solicitante de cálculo pésimo. V_{Ed} : 34.72 kN

El esfuerzo cortante resistente de cálculo $V_{c,Rd}$ viene dado por:

$$V_{c,Rd} = A_v \cdot \frac{f_{yd}}{\sqrt{3}} \quad V_{c,Rd} : \mathbf{1118.61} \text{ kN}$$

Donde:

A_v : Área transversal a cortante. A_v : 76.77 cm

$$A_v = A - d \cdot t_w$$

Siendo:

A: Área de la sección bruta. **A :** 134.00 cm
d: Altura del alma. **d :** 515.60 mm
t_w: Espesor del alma. **t_w :** 11.10 mm

f_{yd}: Resistencia de cálculo del acero. **f_{yd} :** 252.38 MPa

$$f_{yd} = f_y / \gamma_{M0}$$

Siendo:

f_y: Límite elástico. (CTE DB SE-A, Tabla 4.1) **f_y :** 265.00 MPa
γ_{M0}: Coeficiente parcial de seguridad del material. **γ_{M0} :** 1.05

Resistencia a momento flector Y y fuerza cortante Z combinados (CTE DB SE-A, Artículo 6.2.8)

No es necesario reducir la resistencia de cálculo a flexión, ya que el esfuerzo cortante solicitante de cálculo pésimo **V_{Ed}** no es superior al 50% de la resistencia de cálculo a cortante **V_{c,Rd}**.

$$V_{Ed} \leq \frac{V_{c,Rd}}{2} \quad 18.16 \text{ kN} \leq 444.79 \text{ kN} \quad \checkmark$$

Los esfuerzos solicitantes de cálculo pésimos se producen para la combinación de acciones 0.8·PP+1.5·V(180°)H3+0.75·N(R)1.

V_{Ed}: Esfuerzo cortante solicitante de cálculo pésimo. **V_{Ed} :** 18.16 kN

V_{c,Rd}: Esfuerzo cortante resistente de cálculo. **V_{c,Rd} :** 889.57 kN

Resistencia a momento flector Z y fuerza cortante Y combinados (CTE DB SE-A, Artículo 6.2.8)

No es necesario reducir la resistencia de cálculo a flexión, ya que el esfuerzo cortante solicitante de cálculo pésimo **V_{Ed}** no es superior al 50% de la resistencia de cálculo a cortante **V_{c,Rd}**.

$$V_{Ed} \leq \frac{V_{c,Rd}}{2} \quad 34.72 \text{ kN} \leq 559.30 \text{ kN} \quad \checkmark$$

Los esfuerzos solicitantes de cálculo pésimos se producen para la combinación de acciones 1.35·PP+1.05·Q+1.5·V(90°)H2+0.75·N(EI).

V_{Ed}: Esfuerzo cortante solicitante de cálculo pésimo. **V_{Ed} :** 34.72 kN

V_{c,Rd}: Esfuerzo cortante resistente de cálculo. **V_{c,Rd} :** 1118.61 kN

Resistencia a flexión y axil combinados (CTE DB SE-A, Artículo 6.2.8)

Se debe satisfacer:

$$\eta = \frac{N_{c,Ed}}{N_{pl,Rd}} + \frac{M_{y,Ed}}{M_{pl,Rd,y}} + \frac{M_{z,Ed}}{M_{pl,Rd,z}} \leq 1 \quad \eta : \underline{0.632} \quad \checkmark$$

$$\eta = \frac{N_{c,Ed}}{\chi_y \cdot A \cdot f_{yd}} + k_y \cdot \frac{C_{m,y} \cdot M_{y,Ed}}{\chi_{LT} \cdot W_{pl,y} \cdot f_{yd}} + \alpha_z \cdot k_z \cdot \frac{C_{m,z} \cdot M_{z,Ed}}{W_{pl,z} \cdot f_{yd}} \leq 1 \quad \eta : \underline{0.460} \quad \checkmark$$

$$\eta = \frac{N_{c,Ed}}{\chi_z \cdot A \cdot f_{yd}} + \alpha_y \cdot k_y \cdot \frac{C_{m,y} \cdot M_{y,Ed}}{W_{pl,y} \cdot f_{yd}} + k_z \cdot \frac{C_{m,z} \cdot M_{z,Ed}}{W_{pl,z} \cdot f_{yd}} \leq 1 \quad \eta : \underline{0.657} \quad \checkmark$$

Los esfuerzos solicitantes de cálculo p^simos se producen en el nudo N3, para la combinación de acciones 0.8·PP+1.5·V(180°)H3.

Donde:

N_{c,Ed} : Axil de compresión solicitante de cálculo p ^s imo.	N_{c,Ed} : <u>88.68</u> kN
M_{y,Ed} , M_{z,Ed} : Momentos flectores solicitantes de cálculo p ^s imos, según los ejes Y y Z, respectivamente.	M_{y,Ed} : <u>81.49</u> kN·m
	M_{z,Ed} : <u>49.60</u> kN·m
Clase : Clase de la sección, según la capacidad de deformación y de desarrollo de la resistencia plástica de sus elementos planos, para axil y flexión simple.	Clase : <u>1</u>
N_{pl,Rd} : Resistencia a compresión de la sección bruta.	N_{pl,Rd} : <u>3381.90</u> kN
M_{pl,Rd,y} , M_{pl,Rd,z} : Resistencia a flexión de la sección bruta en condiciones plásticas, respecto a los ejes Y y Z, respectivamente.	M_{pl,Rd,y} : <u>703.39</u> kN·m
	M_{pl,Rd,z} : <u>101.20</u> kN·m

Resistencia a pandeo: (CTE DB SE-A, Artículo 6.3.4.2)

A : Área de la sección bruta.	A : <u>134.00</u> cm
W_{pl,y} , W_{pl,z} : Módulos resistentes plásticos correspondientes a la fibra comprimida, alrededor de los ejes Y y Z, respectivamente.	W_{pl,y} : <u>2787.00</u> cm
	W_{pl,z} : <u>401.00</u> cm
f_{yd} : Resistencia de cálculo del acero.	f_{yd} : <u>252.38</u> MPa
$f_{yd} = f_y / \gamma_{M1}$	
Siendo:	
f_y : Límite elástico. (CTE DB SE-A, Tabla 4.1)	f_y : <u>265.00</u> MPa
γ_{M1} : Coeficiente parcial de seguridad del material.	γ_{M1} : <u>1.05</u>

k_y, **k_z**: Coeficientes de interacción.

$$k_y = 1 + (\bar{\lambda}_y - 0.2) \cdot \frac{N_{c,Ed}}{\chi_y \cdot N_{c,Rd}} \quad k_y : \underline{1.00}$$

$$k_z = 1 + (2 \cdot \bar{\lambda}_z - 0.6) \cdot \frac{N_{c,Ed}}{\chi_z \cdot N_{c,Rd}} \quad k_z : \underline{1.08}$$

C_{m,y} , C_{m,z} : Factores de momento flector uniforme equivalente.	C_{m,y} : <u>1.00</u>
	C_{m,z} : <u>1.00</u>

χ_y, χ_z : Coeficientes de reducción por pandeo, alrededor de los ejes Y y Z, respectivamente.

$$\chi_y : \underline{0.99}$$

$$\chi_z : \underline{0.46}$$

$\bar{\lambda}_y, \bar{\lambda}_z$: Esbelteces reducidas con valores no mayores que 1.00, en relación a los ejes Y y Z, respectivamente.

$$\bar{\lambda}_y : \underline{0.25}$$

$$\bar{\lambda}_z : \underline{1.24}$$

α_y, α_z : Factores dependientes de la clase de la sección.

$$\alpha_y : \underline{0.60}$$

$$\alpha_z : \underline{0.60}$$

Resistencia a flexión, axil y cortante combinados (CTE DB SE-A, Artículo 6.2.8)

No es necesario reducir las resistencias de cálculo a flexión y a axil, ya que se puede ignorar el efecto de abolladura por esfuerzo cortante v , además, el esfuerzo cortante solicitante de cálculo pésimo V_{Ed} es menor o igual que el 50% del esfuerzo cortante resistente de cálculo $V_{c,Rd}$.

Los esfuerzos solicitantes de cálculo pésimos se producen para la combinación de acciones $1.35 \cdot PP + 1.05 \cdot Q + 1.5 \cdot V(90^\circ)H2 + 0.75 \cdot N(EI)$.

$$V_{Ed,y} \leq \frac{V_{c,Rd,y}}{2}$$

$$34.72 \text{ kN} \leq 559.30 \text{ kN} \quad \checkmark$$

Donde:

$V_{Ed,y}$: Esfuerzo cortante solicitante de cálculo pésimo.

$$V_{Ed,y} : \underline{34.72} \text{ kN}$$

$V_{c,Rd,y}$: Esfuerzo cortante resistente de cálculo.

$$V_{c,Rd,y} : \underline{1118.61} \text{ kN}$$

Resistencia a torsión (CTE DB SE-A, Artículo 6.2.7)

Se debe satisfacer:

$$\eta = \frac{M_{T,Ed}}{M_{T,Rd}} \leq 1$$

$$\eta : \underline{0.001} \quad \checkmark$$

El esfuerzo solicitante de cálculo pésimo se produce para la combinación de acciones $0.8 \cdot PP + 1.5 \cdot V(180^\circ)H1$.

$M_{T,Ed}$: Momento torsor solicitante de cálculo pésimo.

$$M_{T,Ed} : \underline{0.01} \text{ kN}\cdot\text{m}$$

El momento torsor resistente de cálculo $M_{T,Rd}$ viene dado por:

$$M_{T,Rd} = \frac{1}{\sqrt{3}} \cdot W_T \cdot f_{yd}$$

$$M_{T,Rd} : \underline{10.42} \text{ kN}\cdot\text{m}$$

Donde:

W_T : Módulo de resistencia a torsión.

$$W_T : \underline{71.51} \text{ cm}$$

f_{yd} : Resistencia de cálculo del acero.

$$f_{yd} : \underline{252.38} \text{ MPa}$$

$$f_{yd} = f_y / \gamma_{M0}$$

Siendo:

f_v : Límite elástico. (CTE DB SE-A, Tabla 4.1) f_v : 265.00 MPa
 γ_{M0} : Coeficiente parcial de seguridad del material. γ_{M0} : 1.05

Resistencia a cortante Z y momento torsor combinados (CTE DB SE-A, Artículo 6.2.8)

Se debe satisfacer:

$$\eta = \frac{V_{Ed}}{V_{pl,T,Rd}} \leq 1$$

$$\eta : \underline{0.011} \quad \checkmark$$

Los esfuerzos solicitantes de cálculo pésimos se producen para la combinación de acciones
1.35·PP+1.5·Q+0.9·V(180°)H4+0.75·N(R)2.

V_{Ed} : Esfuerzo cortante solicitante de cálculo pésimo. V_{Ed} : 9.88 kN

$M_{T,Ed}$: Momento torsor solicitante de cálculo pésimo. $M_{T,Ed}$: 0.00 kN·m

El esfuerzo cortante resistente de cálculo reducido $V_{pl,T,Rd}$ viene dado por:

$$V_{pl,T,Rd} = \sqrt{1 - \frac{\tau_{T,Ed}}{1.25 \cdot f_{yd} / \sqrt{3}}} \cdot V_{pl,Rd}$$

$$V_{pl,T,Rd} : \underline{889.53} \text{ kN}$$

Donde:

$V_{pl,Rd}$: Esfuerzo cortante resistente de cálculo. $V_{pl,Rd}$: 889.57 kN

$\tau_{T,Ed}$: Tensiones tangenciales por torsión. $\tau_{T,Ed}$: 0.02 MPa

$$\tau_{T,Ed} = \frac{M_{T,Ed}}{W_t}$$

Siendo:

W_T : Módulo de resistencia a torsión. W_T : 71.51 cm

f_{yd} : Resistencia de cálculo del acero. f_{yd} : 252.38 MPa

$$f_{yd} = f_y / \gamma_{M0}$$

Siendo:

f_y : Límite elástico. (CTE DB SE-A, Tabla 4.1) f_y : 265.00 MPa

γ_{M0} : Coeficiente parcial de seguridad del material. γ_{M0} : 1.05

Resistencia a cortante Y y momento torsor combinados (CTE DB SE-A, Artículo 6.2.8)

Se debe satisfacer:

$$\eta = \frac{V_{Ed}}{V_{pl,T,Rd}} \leq 1$$

$$\eta : \underline{0.009} \quad \checkmark$$

Los esfuerzos solicitantes de cálculo pésimos se producen en el nudo N3, para la combinación de acciones
1.35·PP+1.5·Q+0.9·V(180°)H4+0.75·N(R)2.

V_{Ed}: Esfuerzo cortante solicitante de cálculo pésimo. **V_{Ed}** : 9.70 kN

M_{T,Ed}: Momento torsor solicitante de cálculo pésimo. **M_{T,Ed}** : 0.00 kN·m

El esfuerzo cortante resistente de cálculo reducido **V_{pl,T,Rd}** viene dado por:

$$V_{pl,T,Rd} = \sqrt{1 - \frac{\tau_{T,Ed}}{1.25 \cdot f_{yd} / \sqrt{3}}} \cdot V_{pl,Rd} \qquad V_{pl,T,Rd} : \underline{1118.56} \text{ kN}$$

Donde:

V_{pl,Rd}: Esfuerzo cortante resistente de cálculo. **V_{pl,Rd}** : 1118.61 kN

τ_{T,Ed}: Tensiones tangenciales por torsión. **τ_{T,Ed}** : 0.02 MPa

$$\tau_{T,Ed} = \frac{M_{T,Ed}}{W_t}$$

Siendo:

W_T: Módulo de resistencia a torsión. **W_T** : 71.51 cm

f_{yd}: Resistencia de cálculo del acero. **f_{yd}** : 252.38 MPa

$$f_{yd} = f_y / \gamma_{M0}$$

Siendo:

f_y: Límite elástico. (CTE DB SE-A, Tabla 4.1) **f_y** : 265.00 MPa

γ_{M0}: Coeficiente parcial de seguridad del material. **γ_{M0}** : 1.05

1.11 Pilar interior pórtico interior

Perfil: IPE 360, Simple con cartelas (Cartela final superior: 1.75 m. Cartela final inferior: 1.75 m.) Material: Acero (S275)						
Inicial	Final	Longitud (m)	Características mecánicas ⁽¹⁾			
			Área (cm ²)	I _y ⁽²⁾ (cm ⁴)	I _z ⁽²⁾ (cm ⁴)	I _t ⁽³⁾ (cm ⁴)
N19	N20	7.000	72.70	16270.00	1043.00	37.30
Notas: ⁽¹⁾ Las características mecánicas y el dibujo mostrados corresponden a la sección inicial del perfil (N19) ⁽²⁾ Inercia respecto al eje indicado ⁽³⁾ Momento de inercia a torsión uniforme						
		Pandeo		Pandeo lateral		
		Plano XY	Plano XZ	Ala sup.	Ala inf.	
β		0.70	0.70	0.00	0.00	
L _K		4.900	4.900	0.000	0.000	
C _m		1.000	1.000	1.000	1.000	
C ₁		-		1.000		
Notación: β: Coeficiente de pandeo L _K : Longitud de pandeo (m) C _m : Coeficiente de momentos C ₁ : Factor de modificación para el momento crítico						

Barra	COMPROBACIONES (CTE DB SE-A)														Estado	
	$\bar{\lambda}$	λ_w	N _t	N _c	M _y	M _z	V _z	V _y	M _y V _z	M _z V _y	NM _y M _z	NM _y M _z V _y V _z	M _t	M _t V _z		M _t V _y
N19/N20	x: 6.817 m $\bar{\lambda} < 2.0$ Cumple	x: 6.285 m $\lambda_w \leq \lambda_{w,max}$ Cumple	x: 5.112 m η = 6.1	x: 0 m η = 26.8	x: 5.114 m η = 24.3	x: 0 m η = 4.5	x: 0 m η = 4.0	x: 0 m η < 0.1	η < 0.1	η < 0.1	x: 4.431 m η = 33.1	η < 0.1	M _{Ed} = 0.00 N.P. ⁽¹⁾	N.P. ⁽²⁾	N.P. ⁽²⁾	CUMPLE η = 33.1
Notación: $\bar{\lambda}$: Limitación de esbeltez λ_w : Abolladura del alma inducida por el ala comprimida N _t : Resistencia a tracción N _c : Resistencia a compresión M _y : Resistencia a flexión eje Y M _z : Resistencia a flexión eje Z V _z : Resistencia a corte Z V _y : Resistencia a corte Y M _y V _z : Resistencia a momento flector Y y fuerza cortante Z combinados M _z V _y : Resistencia a momento flector Z y fuerza cortante Y combinados NM _y M _z : Resistencia a flexión y axil combinados NM _y M _z V _y V _z : Resistencia a flexión, axil y cortante combinados M _t : Resistencia a torsión M _t V _z : Resistencia a cortante Z y momento torsor combinados M _t V _y : Resistencia a cortante Y y momento torsor combinados x: Distancia al origen de la barra η: Coeficiente de aprovechamiento (%) N.P.: No procede																
Comprobaciones que no proceden (N.P.): ⁽¹⁾ La comprobación no procede, ya que no hay momento torsor. ⁽²⁾ No hay interacción entre momento torsor y esfuerzo cortante para ninguna combinación. Por lo tanto, la comprobación no procede.																

Limitación de esbeltez (CTE DB SE-A, Artículos 6.3.1 y 6.3.2.1 - Tabla 6.3)

La esbeltez reducida $\bar{\lambda}$ de las barras comprimidas debe ser inferior al valor 2.0.

$$\bar{\lambda} = \sqrt{\frac{A_{ef} \cdot f_y}{N_{cr}}}$$

$$\bar{\lambda} : \underline{1.57} \quad \checkmark$$

Donde:

Clase: Clase de la sección, según la capacidad de deformación y de desarrollo de la resistencia plástica de los elementos planos comprimidos de una sección.

Clase : 4

A_{ef}: Área de la sección eficaz para las secciones de clase 4.

A_{ef} : 162.08 cm

f_y: Límite elástico. (CTE DB SE-A, Tabla 4.1)

f_y : 275.00 MPa

N_{cr}: Axil crítico de pandeo elástico.

N_{cr} : 1800.50 kN

El axil crítico de pandeo elástico N_{cr} es el menor de los valores obtenidos en a), b) y c):

a) Axil crítico elástico de pandeo por flexión respecto al eje Y.

$$N_{cr,y} : \underline{175261.72} \text{ kN}$$

$$N_{cr,y} = \frac{\pi^2 \cdot E \cdot I_y}{L_{ky}^2}$$

b) Axil crítico elástico de pandeo por flexión respecto al eje Z.

$$N_{cr,z} : \underline{1800.50} \text{ kN}$$

$$N_{cr,z} = \frac{\pi^2 \cdot E \cdot I_z}{L_{kz}^2}$$

c) Axil crítico elástico de pandeo por torsión.

$$N_{cr,T} : \underline{\infty}$$

$$N_{cr,T} = \frac{1}{i_0^2} \cdot \left[G \cdot I_t + \frac{\pi^2 \cdot E \cdot I_w}{L_{kt}^2} \right]$$

Donde:

I_y : Momento de inercia de la sección bruta, respecto al eje Y.

$$I_y : \underline{203029.99} \text{ cm}^4$$

I_z : Momento de inercia de la sección bruta, respecto al eje Z.

$$I_z : \underline{2085.77} \text{ cm}^4$$

I_t : Momento de inercia a torsión uniforme.

$$I_t : \underline{71.94} \text{ cm}^4$$

I_w : Constante de alabeo de la sección.

$$I_w : \underline{2834140.33} \text{ cm}^6$$

E : Módulo de elasticidad.

$$E : \underline{210000} \text{ MPa}$$

G : Módulo de elasticidad transversal.

$$G : \underline{81000} \text{ MPa}$$

L_{ky} : Longitud efectiva de pandeo por flexión, respecto al eje Y.

$$L_{ky} : \underline{4.900} \text{ m}$$

L_{kz} : Longitud efectiva de pandeo por flexión, respecto al eje Z.

$$L_{kz} : \underline{4.900} \text{ m}$$

L_{kt} : Longitud efectiva de pandeo por torsión.

$$L_{kt} : \underline{0.000} \text{ m}$$

i_0 : Radio de giro polar de la sección bruta, respecto al centro de torsión.

$$i_0 : \underline{34.80} \text{ cm}$$

$$i_0 = (i_y^2 + i_z^2 + y_0^2 + z_0^2)^{0.5}$$

Siendo:

i_y, i_z : Radios de giro de la sección bruta, respecto a los ejes principales de inercia Y y Z.

$$i_y : \underline{34.62} \text{ cm}$$

$$i_z : \underline{3.51} \text{ cm}$$

y_0, z_0 : Coordenadas del centro de torsión en la dirección de los ejes principales Y y Z, respectivamente, relativas al centro de gravedad de la sección.

$$y_0 : \underline{0.00} \text{ mm}$$

$$z_0 : \underline{0.00} \text{ mm}$$

Abolladura del alma inducida por el ala comprimida (Criterio de CYPE Ingenieros, basado en: Eurocódigo 3 EN 1993-1-5: 2006, Artículo 8)

Se debe satisfacer:

$$\frac{h_w}{t_w} \leq k \frac{E}{f_{yf}} \sqrt{\frac{A_w}{A_{fc,ef}}}$$

$$102.51 \leq 399.36 \checkmark$$

Donde:

h_w : Altura del alma.	h_w : <u>820.11</u> mm
t_w : Espesor del alma.	t_w : <u>8.00</u> mm
A_w : Área del alma.	A_w : <u>65.61</u> cm
A_{fc,ef} : Área reducida del ala comprimida.	A_{fc,ef} : <u>21.59</u> cm
k : Coeficiente que depende de la clase de la sección.	k : <u>0.30</u>
E : Módulo de elasticidad.	E : <u>210000</u> MPa
f_{yf} : Límite elástico del acero del ala comprimida.	f_{yf} : <u>275.00</u> MPa

Siendo:

$$f_{yf} = f_y$$

Resistencia a tracción (CTE DB SE-A, Artículo 6.2.3)

Se debe satisfacer:

$$\eta = \frac{N_{t,Ed}}{N_{t,Rd}} \leq 1$$

$$\eta : \underline{0.061} \quad \checkmark$$

El esfuerzo solicitante de cálculo pésimo se produce en un punto situado a una distancia de 5.112 m del nudo N19, para la combinación de acciones 0.8·PP+1.5·V(180°)H3.

N_{t,Ed}: Axil de tracción solicitante de cálculo pésimo.

$$\mathbf{N_{t,Ed}} : \underline{115.93} \text{ kN}$$

La resistencia de cálculo a tracción **N_{t,Rd}** viene dada por:

$$\mathbf{N_{t,Rd}} = A \cdot f_{yd}$$

$$\mathbf{N_{t,Rd}} : \underline{1904.05} \text{ kN}$$

Donde:

A: Área bruta de la sección transversal de la barra.

$$\mathbf{A} : \underline{72.70} \text{ cm}$$

f_{yd}: Resistencia de cálculo del acero.

$$\mathbf{f_{yd}} : \underline{261.90} \text{ MPa}$$

$$f_{yd} = f_y / \gamma_{M0}$$

Siendo:

f_y: Límite elástico. (CTE DB SE-A, Tabla 4.1)

$$\mathbf{f_y} : \underline{275.00} \text{ MPa}$$

γ_{M0}: Coeficiente parcial de seguridad del material.

$$\mathbf{\gamma_{M0}} : \underline{1.05}$$

Resistencia a compresión (CTE DB SE-A, Artículo 6.2.5)

Se debe satisfacer:

$$\eta = \frac{N_{c,Ed}}{N_{c,Rd}} \leq 1$$

$$\eta : \underline{0.095} \quad \checkmark$$

$$\eta = \frac{N_{c,Ed}}{N_{b,Rd}} \leq 1$$

$$\eta : \underline{0.268} \quad \checkmark$$

El esfuerzo solicitante de cálculo pésimo se produce en el nudo N19, para la combinación de acciones $1.35 \cdot PP + 1.5 \cdot Q + 0.75 \cdot N(R)2$.

$N_{c,Ed}$: Axil de compresión solicitante de cálculo pésimo. $N_{c,Ed}$: 175.53 kN

La resistencia de cálculo a compresión $N_{c,Rd}$ viene dada por:

$N_{c,Rd} = A_{ef} \cdot f_{yd}$ $N_{c,Rd}$: 1840.02 kN

Donde:

Clase: Clase de la sección, según la capacidad de deformación y de desarrollo de la resistencia plástica de los elementos planos comprimidos de una sección. **Clase** : 4

A_{ef}: Área de la sección eficaz para las secciones de clase 4. **A_{ef}** : 70.26 cm

f_{yd}: Resistencia de cálculo del acero. **f_{yd}** : 261.90 MPa

$f_{yd} = f_y / \gamma_{M0}$

Siendo:

f_y: Límite elástico. (CTE DB SE-A, Tabla 4.1) **f_y** : 275.00 MPa

γ_{M0}: Coeficiente parcial de seguridad del material. **γ_{M0}** : 1.05

Resistencia a pandeo: (CTE DB SE-A, Artículo 6.3.2)

La resistencia de cálculo a pandeo $N_{b,Rd}$ en una barra comprimida viene dada por:

$N_{b,Rd} = \chi \cdot A_{ef} \cdot f_{yd}$ $N_{b,Rd}$: 654.09 kN

Donde:

A_{ef}: Área de la sección eficaz para las secciones de clase 4. **A_{ef}** : 70.26 cm

f_{yd}: Resistencia de cálculo del acero. **f_{yd}** : 261.90 MPa

$f_{yd} = f_y / \gamma_{M1}$

Siendo:

f_y: Límite elástico. (CTE DB SE-A, Tabla 4.1) **f_y** : 275.00 MPa

γ_{M1}: Coeficiente parcial de seguridad del material. **γ_{M1}** : 1.05

χ: Coeficiente de reducción por pandeo.

$$\chi = \frac{1}{\Phi + \sqrt{\Phi^2 - (\bar{\lambda})^2}} \leq 1$$
 χ_y : 0.96

χ_z : 0.36

Siendo:

$$\Phi = 0.5 \cdot \left[1 + \alpha \cdot (\bar{\lambda} - 0.2) + (\bar{\lambda})^2 \right]$$
 φ_y : 0.59

φ_z : 1.79

α: Coeficiente de imperfección elástica.

α_y : 0.21

α_z : 0.34

λ̄: Esbeltez reducida.

$$\bar{\lambda} = \sqrt{\frac{A_{ef} \cdot f_y}{N_{cr}}}$$
 λ̄_y : 0.37

λ̄_z : 1.46

N_{cr} : Axil crítico elástico de pandeo, obtenido como el menor de los siguientes valores:	N_{cr} : <u>900.35</u> kN
$N_{cr,y}$: Axil crítico elástico de pandeo por flexión respecto al eje Y.	$N_{cr,y}$: <u>14044.76</u> kN
$N_{cr,z}$: Axil crítico elástico de pandeo por flexión respecto al eje Z.	$N_{cr,z}$: <u>900.35</u> kN
$N_{cr,T}$: Axil crítico elástico de pandeo por torsión.	$N_{cr,T}$: <u>∞</u>

Resistencia a flexión eje Y (CTE DB SE-A, Artículo 6.2.6)

Se debe satisfacer:

$$\eta = \frac{M_{Ed}}{M_{c,Rd}} \leq 1$$

$$\eta : \underline{0.243} \quad \checkmark$$

Para flexión positiva:

El esfuerzo solicitante de cálculo pésimo se produce en un punto situado a una distancia de 5.114 m del nudo N19, para la combinación de acciones $0.8 \cdot PP + 1.5 \cdot V(0^\circ)H1 + 0.75 \cdot N(R)1$.

M_{Ed}^+ : Momento flector solicitante de cálculo pésimo.

$$M_{Ed}^+ : \underline{64.92} \text{ kN}\cdot\text{m}$$

Para flexión negativa:

El esfuerzo solicitante de cálculo pésimo se produce en un punto situado a una distancia de 5.114 m del nudo N19, para la combinación de acciones $1.35 \cdot PP + 1.5 \cdot V(180^\circ)H2 + 0.75 \cdot N(R)2$.

M_{Ed}^- : Momento flector solicitante de cálculo pésimo.

$$M_{Ed}^- : \underline{64.92} \text{ kN}\cdot\text{m}$$

El momento flector resistente de cálculo $M_{c,Rd}$ viene dado por:

$$M_{c,Rd} = W_{pl,y} \cdot f_{yd}$$

$$M_{c,Rd} : \underline{266.88} \text{ kN}\cdot\text{m}$$

Donde:

Clase: Clase de la sección, según la capacidad de deformación y de desarrollo de la resistencia plástica de los elementos planos de una sección a flexión simple.

$$\text{Clase} : \underline{1}$$

$W_{pl,y}$: Módulo resistente plástico correspondiente a la fibra con mayor tensión, para las secciones de clase 1 y 2.

$$W_{pl,y} : \underline{1019.00} \text{ cm}$$

f_{yd} : Resistencia de cálculo del acero.

$$f_{yd} : \underline{261.90} \text{ MPa}$$

$$f_{yd} = f_y / \gamma_{M0}$$

Siendo:

f_y : Límite elástico. (CTE DB SE-A, Tabla 4.1)

$$f_y : \underline{275.00} \text{ MPa}$$

γ_{M0} : Coeficiente parcial de seguridad del material.

$$\gamma_{M0} : \underline{1.05}$$

Resistencia a pandeo lateral: (CTE DB SE-A, Artículo 6.3.3.2)

No procede, dado que las longitudes de pandeo lateral son nulas.

Resistencia a flexión eje Z (CTE DB SE-A, Artículo 6.2.6)

Se debe satisfacer:

$$\eta = \frac{M_{Ed}}{M_{c,Rd}} \leq 1$$

$$\eta : \underline{0.045} \quad \checkmark$$

Para flexión positiva:

El esfuerzo solicitante de cálculo pésimo se produce en el nudo N19, para la combinación de acciones $1.35 \cdot PP + 1.05 \cdot Q + 1.5 \cdot V(90^\circ)H2 + 0.75 \cdot N(EI)$.

M_{Ed}^+ : Momento flector solicitante de cálculo pésimo.

$$M_{Ed}^+ : \underline{2.23} \text{ kN}\cdot\text{m}$$

Para flexión negativa:

El esfuerzo solicitante de cálculo pésimo se produce en el nudo N19, para la combinación de acciones $0.8 \cdot PP + 1.5 \cdot V(180^\circ)H1$.

M_{Ed}^- : Momento flector solicitante de cálculo pésimo.

$$M_{Ed}^- : \underline{1.57} \text{ kN}\cdot\text{m}$$

El momento flector resistente de cálculo $M_{c,Rd}$ viene dado por:

$$M_{c,Rd} = W_{pl,z} \cdot f_{yd}$$

$$M_{c,Rd} : \underline{50.02} \text{ kN}\cdot\text{m}$$

Donde:

Clase: Clase de la sección, según la capacidad de deformación y de desarrollo de la resistencia plástica de los elementos planos de una sección a flexión simple.

$$\text{Clase} : \underline{1}$$

$W_{pl,z}$: Módulo resistente plástico correspondiente a la fibra con mayor tensión, para las secciones de clase 1 y 2.

$$W_{pl,z} : \underline{191.00} \text{ cm}$$

f_{vd} : Resistencia de cálculo del acero.

$$f_{vd} : \underline{261.90} \text{ MPa}$$

$$f_{yd} = f_y / \gamma_{M0}$$

Siendo:

f_y : Límite elástico. (CTE DB SE-A, Tabla 4.1)

$$f_y : \underline{275.00} \text{ MPa}$$

γ_{M0} : Coeficiente parcial de seguridad del material.

$$\gamma_{M0} : \underline{1.05}$$

Resistencia a corte Z (CTE DB SE-A, Artículo 6.2.4)

Se debe satisfacer:

$$\eta = \frac{V_{Ed}}{V_{c,Rd}} \leq 1$$

$$\eta : \underline{0.040} \quad \checkmark$$

El esfuerzo solicitante de cálculo pésimo se produce en el nudo N19, para la combinación de acciones $0.8 \cdot PP + 1.5 \cdot V(0^\circ)H1 + 0.75 \cdot N(R)1$.

V_{Ed} : Esfuerzo cortante solicitante de cálculo pésimo.

$$V_{Ed} : \underline{17.52} \text{ kN}$$

El esfuerzo cortante resistente de cálculo $V_{c,Rd}$ viene dado por:

$$V_{c,Rd} = A_v \cdot \frac{f_{yd}}{\sqrt{3}}$$

$$V_{c,Rd} : \underline{435.49} \text{ kN}$$

Donde:

A_v : Área transversal a cortante.	A_v : <u>28.80</u> cm
$A_v = h \cdot t_w$	
Siendo:	
h : Canto de la sección.	h : <u>360.00</u> mm
t_w : Espesor del alma.	t_w : <u>8.00</u> mm
f_{vd} : Resistencia de cálculo del acero.	f_{vd} : <u>261.90</u> MPa
$f_{vd} = f_y / \gamma_{M0}$	
Siendo:	
f_y : Límite elástico. (CTE DB SE-A, Tabla 4.1)	f_y : <u>275.00</u> MPa
γ_{M0} : Coeficiente parcial de seguridad del material.	γ_{M0} : <u>1.05</u>

Abolladura por cortante del alma: (CTE DB SE-A, Artículo 6.3.3.4)

Aunque no se han dispuesto rigidizadores transversales, no es necesario comprobar la resistencia a la abolladura del alma, puesto que se cumple:

$$\frac{d}{t_w} < 70 \cdot \varepsilon \quad \mathbf{41.83 < 64.71} \quad \checkmark$$

Donde:

λ_w: Esbeltez del alma. **λ_w** : 41.83

$$\lambda_w = \frac{d}{t_w}$$

λ_{máx}: Esbeltez máxima. **λ_{máx}** : 64.71

$$\lambda_{max} = 70 \cdot \varepsilon$$

ε: Factor de reducción. **ε** : 0.92

$$\varepsilon = \sqrt{\frac{f_{ref}}{f_y}}$$

Siendo:

f_{ref}: Límite elástico de referencia. **f_{ref}** : 235.00 MPa

f_y: Límite elástico. (CTE DB SE-A, Tabla 4.1) **f_y** : 275.00 MPa

Resistencia a corte Y (CTE DB SE-A, Artículo 6.2.4)

Se debe satisfacer:

$$\eta = \frac{V_{Ed}}{V_{c,Rd}} \leq 1 \quad \eta < \mathbf{0.001} \quad \checkmark$$

El esfuerzo solicitante de cálculo pésimo se produce en el nudo N19, para la combinación de acciones 1.35·PP+1.05·Q+1.5·V(90°)H2+0.75·N(EI).

V_{Ed}: Esfuerzo cortante solicitante de cálculo pésimo. **V_{Ed}** : 0.32 kN

El esfuerzo cortante resistente de cálculo **V_{c,Rd}** viene dado por:

$$V_{c,Rd} = A_v \cdot \frac{f_{yd}}{\sqrt{3}} \quad V_{c,Rd} : \underline{694.54} \text{ kN}$$

Donde:

A_v : Área transversal a cortante. $A_v : \underline{45.93} \text{ cm}$

$$A_v = A - d \cdot t_w$$

Siendo:

A : Área de la sección bruta. $A : \underline{72.70} \text{ cm}$

d : Altura del alma. $d : \underline{334.60} \text{ mm}$

t_w : Espesor del alma. $t_w : \underline{8.00} \text{ mm}$

f_{yd} : Resistencia de cálculo del acero. $f_{yd} : \underline{261.90} \text{ MPa}$

$$f_{yd} = f_y / \gamma_{M0}$$

Siendo:

f_y : Límite elástico. (CTE DB SE-A, Tabla 4.1) $f_y : \underline{275.00} \text{ MPa}$

γ_{M0} : Coeficiente parcial de seguridad del material. $\gamma_{M0} : \underline{1.05}$

Resistencia a momento flector Y y fuerza cortante Z combinados (CTE DB SE-A, Artículo 6.2.8)

No es necesario reducir la resistencia de cálculo a flexión, ya que el esfuerzo cortante solicitante de cálculo pésimo V_{Ed} no es superior al 50% de la resistencia de cálculo a cortante $V_{c,Rd}$.

$$V_{Ed} \leq \frac{V_{c,Rd}}{2} \quad 17.52 \text{ kN} \leq 217.74 \text{ kN} \quad \checkmark$$

Los esfuerzos solicitantes de cálculo pésimos se producen para la combinación de acciones $0.8 \cdot PP + 1.5 \cdot V(0^\circ)H1 + 0.75 \cdot N(R)1$.

V_{Ed} : Esfuerzo cortante solicitante de cálculo pésimo. $V_{Ed} : \underline{17.52} \text{ kN}$

$V_{c,Rd}$: Esfuerzo cortante resistente de cálculo. $V_{c,Rd} : \underline{435.49} \text{ kN}$

Resistencia a momento flector Z y fuerza cortante Y combinados (CTE DB SE-A, Artículo 6.2.8)

No es necesario reducir la resistencia de cálculo a flexión, ya que el esfuerzo cortante solicitante de cálculo pésimo V_{Ed} no es superior al 50% de la resistencia de cálculo a cortante $V_{c,Rd}$.

$$V_{Ed} \leq \frac{V_{c,Rd}}{2} \quad 0.32 \text{ kN} \leq 347.27 \text{ kN} \quad \checkmark$$

Los esfuerzos solicitantes de cálculo pésimos se producen para la combinación de acciones $1.35 \cdot PP + 1.05 \cdot Q + 1.5 \cdot V(90^\circ)H2 + 0.75 \cdot N(EI)$.

V_{Ed} : Esfuerzo cortante solicitante de cálculo pésimo. V_{Ed} : 0.32 kN

$V_{c,Rd}$: Esfuerzo cortante resistente de cálculo. $V_{c,Rd}$: 694.54 kN

Resistencia a flexión y axil combinados (CTE DB SE-A, Artículo 6.2.8)

Se debe satisfacer:

$$\eta = \frac{N_{c,Ed}}{N_{pl,Rd}} + \frac{M_{y,Ed}}{M_{el,Rd,y}} + \frac{M_{z,Ed}}{M_{el,Rd,z}} \leq 1 \quad \eta : \underline{0.202} \quad \checkmark$$

$$\eta = \frac{N_{c,Ed}}{\chi_y \cdot A \cdot f_{yd}} + k_y \cdot \frac{C_{m,y} \cdot M_{y,Ed}}{\chi_{LT} \cdot W_{el,y} \cdot f_{yd}} + \alpha_z \cdot k_z \cdot \frac{C_{m,z} \cdot M_{z,Ed}}{W_{el,z} \cdot f_{yd}} \leq 1 \quad \eta : \underline{0.208} \quad \checkmark$$

$$\eta = \frac{N_{c,Ed}}{\chi_z \cdot A \cdot f_{yd}} + \alpha_y \cdot k_y \cdot \frac{C_{m,y} \cdot M_{y,Ed}}{W_{el,y} \cdot f_{yd}} + k_z \cdot \frac{C_{m,z} \cdot M_{z,Ed}}{W_{el,z} \cdot f_{yd}} \leq 1 \quad \eta : \underline{0.331} \quad \checkmark$$

Los esfuerzos solicitantes de cálculo pésimos se producen en un punto situado a una distancia de 4.431 m del nudo N19, para la combinación de acciones 1.35·PP+1.5·Q+0.9·V(0°)H2+0.75·N(R)2.

Donde:

$N_{c,Ed}$: Axil de compresión solicitante de cálculo pésimo. $N_{c,Ed}$: 150.79 kN

$M_{y,Ed}$, $M_{z,Ed}$: Momentos flectores solicitantes de cálculo pésimos, según los ejes Y y Z, respectivamente. $M_{y,Ed}^+$: 27.85 kN·m

$M_{z,Ed}^+$: 0.16 kN·m

Clase: Clase de la sección, según la capacidad de deformación y de desarrollo de la resistencia plástica de sus elementos planos, para axil y flexión simple. **Clase** : 3

$N_{pl,Rd}$: Resistencia a compresión de la sección bruta. $N_{pl,Rd}$: 1904.05 kN

$M_{el,Rd,y}$, $M_{el,Rd,z}$: Resistencia a flexión de la sección bruta en condiciones elásticas, respecto a los ejes Y y Z, respectivamente. $M_{el,Rd,y}$: 236.73 kN·m

$M_{el,Rd,z}$: 32.14 kN·m

Resistencia a pandeo: (CTE DB SE-A, Artículo 6.3.4.2)

A: Área de la sección bruta. **A** : 72.70 cm

$W_{el,y}$, $W_{el,z}$: Módulos resistentes elásticos correspondientes a la fibra comprimida, alrededor de los ejes Y y Z, respectivamente. $W_{el,y}$: 903.89 cm

$W_{el,z}$: 122.71 cm

f_{yd} : Resistencia de cálculo del acero. f_{yd} : 261.90 MPa

$$f_{yd} = f_y / \gamma_{M1}$$

Siendo:

f_y : Límite elástico. (CTE DB SE-A, Tabla 4.1) f_y : 275.00 MPa

γ_{M1} : Coeficiente parcial de seguridad del material. γ_{M1} : 1.05

k_y , k_z : Coeficientes de interacción.

$$k_y = 1 + 0.6 \cdot \bar{\lambda}_y \cdot \frac{N_{c,Ed}}{\chi_y \cdot N_{c,Rd}} \quad k_y : \underline{1.02}$$

$$k_z = 1 + 0.6 \cdot \bar{\lambda}_z \cdot \frac{N_{c,Ed}}{\chi_z \cdot N_{c,Rd}} \quad k_z : \underline{1.14}$$

$C_{m,y}, C_{m,z}$: Factores de momento flector uniforme equivalente. $C_{m,y} : \underline{1.00}$
 $C_{m,z} : \underline{1.00}$

χ_y, χ_z : Coeficientes de reducción por pandeo, alrededor de los ejes Y y Z, respectivamente. $\chi_y : \underline{0.96}$
 $\chi_z : \underline{0.35}$

$\bar{\lambda}_y, \bar{\lambda}_z$: Esbelteces reducidas con valores no mayores que 1.00, en relación a los ejes Y y Z, respectivamente. $\bar{\lambda}_y : \underline{0.38}$
 $\bar{\lambda}_z : \underline{1.49}$

α_y, α_z : Factores dependientes de la clase de la sección. $\alpha_y : \underline{0.80}$
 $\alpha_z : \underline{1.00}$

Resistencia a flexión, axil y cortante combinados (CTE DB SE-A, Artículo 6.2.8)

No es necesario reducir las resistencias de cálculo a flexión y a axil, ya que se puede ignorar el efecto de abolladura por esfuerzo cortante y, además, el esfuerzo cortante solicitante de cálculo pésimo V_{Ed} es menor o igual que el 50% del esfuerzo cortante resistente de cálculo $V_{c,Rd}$.

Los esfuerzos solicitantes de cálculo pésimos se producen para la combinación de acciones $0.8 \cdot PP + 1.5 \cdot V(0^\circ)H1 + 0.75 \cdot N(R)1$.

$$V_{Ed,z} \leq \frac{V_{c,Rd,z}}{2} \quad 17.52 \text{ kN} \leq 217.74 \text{ kN} \quad \checkmark$$

Donde:

$V_{Ed,z}$: Esfuerzo cortante solicitante de cálculo pésimo. $V_{Ed,z} : \underline{17.52} \text{ kN}$
 $V_{c,Rd,z}$: Esfuerzo cortante resistente de cálculo. $V_{c,Rd,z} : \underline{435.49} \text{ kN}$

Resistencia a torsión (CTE DB SE-A, Artículo 6.2.7)

La comprobación no procede, ya que no hay momento torsor.

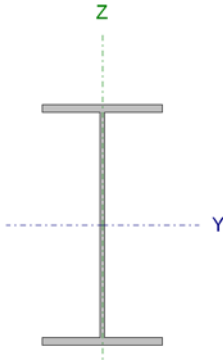
Resistencia a cortante Z y momento torsor combinados (CTE DB SE-A, Artículo 6.2.8)

No hay interacción entre momento torsor y esfuerzo cortante para ninguna combinación. Por lo tanto, la comprobación no procede.

Resistencia a cortante Y y momento torsor combinados (CTE DB SE-A, Artículo 6.2.8)

No hay interacción entre momento torsor y esfuerzo cortante para ninguna combinación. Por lo tanto, la comprobación no procede.

1.12 Viga perimetral exterior, pórtico de fachada

Perfil: IPE 300 Material: Acero (S275)						
	Nudos		Longitud (m)	Características mecánicas		
	Inicial	Final		Área (cm ²)	I _y ⁽¹⁾ (cm ⁴)	I _z ⁽¹⁾ (cm ⁴)
	N2	N10	5.000	53.80	8356.00	604.00
Notas: (1) Inercia respecto al eje indicado (2) Momento de inercia a torsión uniforme						
		Pandeo		Pandeo lateral		
		Plano XY	Plano XZ	Ala sup.	Ala inf.	
β	1.00	1.00	0.00	0.00		
L _K	5.000	5.000	0.000	0.000		
C _m	1.000	1.000	1.000	1.000		
C ₁	-		1.000			
Notación: β: Coeficiente de pandeo L _K : Longitud de pandeo (m) C _m : Coeficiente de momentos C ₁ : Factor de modificación para el momento crítico						

Barra	COMPROBACIONES (CTE DB SE-A)														Estado	
	$\bar{\lambda}$	λ_w	N _t	N _c	M _y	M _z	V _z	V _y	M _y V _z	M _z V _y	NM _y M _z	NM _y M _z V _y V _z	M _t	M _t V _z		M _t V _y
N2/N10	$\bar{\lambda} < 2.0$ Cumple	x: 0.313 m $\lambda_w \leq \lambda_{w,max}$ Cumple	η = 0.1	η = 9.0	x: 2.5 m η = 1.1	M _{Ed} = 0.00 N.P. ⁽¹⁾	x: 0 m η = 0.4	V _{Ed} = 0.00 N.P. ⁽²⁾	x: 0.313 m η < 0.1	N.P. ⁽³⁾	x: 2.5 m η = 9.5	x: 0.313 m η < 0.1	M _{Ed} = 0.00 N.P. ⁽⁴⁾	N.P. ⁽⁵⁾	N.P. ⁽⁵⁾	CUMPLE η = 9.5
Notación: λ̄: Limitación de esbeltez λ _w : Abolladura del alma inducida por el ala comprimida N _t : Resistencia a tracción N _c : Resistencia a compresión M _y : Resistencia a flexión eje Y M _z : Resistencia a flexión eje Z V _z : Resistencia a corte Z V _y : Resistencia a corte Y M _y V _z : Resistencia a momento flector Y y fuerza cortante Z combinados M _z V _y : Resistencia a momento flector Z y fuerza cortante Y combinados NM _y M _z : Resistencia a flexión y axil combinados NM _y M _z V _y V _z : Resistencia a flexión, axil y cortante combinados M _t : Resistencia a torsión M _t V _z : Resistencia a cortante Z y momento torsor combinados M _t V _y : Resistencia a cortante Y y momento torsor combinados x: Distancia al origen de la barra η: Coeficiente de aprovechamiento (%) N.P.: No procede																
Comprobaciones que no proceden (N.P.): (1) La comprobación no procede, ya que no hay momento flector. (2) La comprobación no procede, ya que no hay esfuerzo cortante. (3) No hay interacción entre momento flector y esfuerzo cortante para ninguna combinación. Por lo tanto, la comprobación no procede. (4) La comprobación no procede, ya que no hay momento torsor. (5) No hay interacción entre momento torsor y esfuerzo cortante para ninguna combinación. Por lo tanto, la comprobación no procede.																

Limitación de esbeltez (CTE DB SE-A, Artículos 6.3.1 y 6.3.2.1 - Tabla 6.3)

La esbeltez reducida $\bar{\lambda}$ de las barras comprimidas debe ser inferior al valor 2.0.

$$\bar{\lambda} = \sqrt{\frac{A_{ef} \cdot f_y}{N_{cr}}}$$

$$\bar{\lambda} : \underline{1.70} \quad \checkmark$$

Donde:

Clase: Clase de la sección, según la capacidad de deformación y de desarrollo de la resistencia plástica de los elementos planos comprimidos de una sección. **Clase :** 4

A_{ef}: Área de la sección eficaz para las secciones de clase 4. **A_{ef} :** 52.70 cm

f_y: Límite elástico. (CTE DB SE-A, Tabla 4.1) **f_y :** 275.00 MPa

N_{cr}: Axil crítico de pandeo elástico. **N_{cr} :** 500.74 kN

El axil crítico de pandeo elástico N_{cr} es el menor de los valores obtenidos en a), b) y c):

a) Axil crítico elástico de pandeo por flexión respecto al eje Y.

$$N_{cr,y} : \underline{6927.51} \text{ kN}$$

$$N_{cr,y} = \frac{\pi^2 \cdot E \cdot I_y}{L_{ky}^2}$$

b) Axil crítico elástico de pandeo por flexión respecto al eje Z.

$$N_{cr,z} : \underline{500.74} \text{ kN}$$

$$N_{cr,z} = \frac{\pi^2 \cdot E \cdot I_z}{L_{kz}^2}$$

c) Axil crítico elástico de pandeo por torsión.

$$N_{cr,T} : \underline{\infty}$$

$$N_{cr,T} = \frac{1}{i_0^2} \cdot \left[G \cdot I_t + \frac{\pi^2 \cdot E \cdot I_w}{L_{kt}^2} \right]$$

Donde:

I_y : Momento de inercia de la sección bruta, respecto al eje Y.

$$I_y : \underline{8356.00} \text{ cm}^4$$

I_z : Momento de inercia de la sección bruta, respecto al eje Z.

$$I_z : \underline{604.00} \text{ cm}^4$$

I_t : Momento de inercia a torsión uniforme.

$$I_t : \underline{20.10} \text{ cm}^4$$

I_w : Constante de alabeo de la sección.

$$I_w : \underline{126000.00} \text{ cm}^6$$

E : Módulo de elasticidad.

$$E : \underline{210000} \text{ MPa}$$

G : Módulo de elasticidad transversal.

$$G : \underline{81000} \text{ MPa}$$

L_{ky} : Longitud efectiva de pandeo por flexión, respecto al eje Y.

$$L_{ky} : \underline{5.000} \text{ m}$$

L_{kz} : Longitud efectiva de pandeo por flexión, respecto al eje Z.

$$L_{kz} : \underline{5.000} \text{ m}$$

L_{kt} : Longitud efectiva de pandeo por torsión.

$$L_{kt} : \underline{0.000} \text{ m}$$

i_0 : Radio de giro polar de la sección bruta, respecto al centro de torsión.

$$i_0 : \underline{12.91} \text{ cm}$$

$$i_0 = (i_y^2 + i_z^2 + y_0^2 + z_0^2)^{0.5}$$

Siendo:

i_y, i_z : Radios de giro de la sección bruta, respecto a los ejes principales de inercia Y y Z.

$$i_y : \underline{12.46} \text{ cm}$$

$$i_z : \underline{3.35} \text{ cm}$$

y_0, z_0 : Coordenadas del centro de torsión en la dirección de los ejes principales Y y Z, respectivamente, relativas al centro de gravedad de la sección.

$$y_0 : \underline{0.00} \text{ mm}$$

$$z_0 : \underline{0.00} \text{ mm}$$

Abolladura del alma inducida por el ala comprimida (Criterio de CYPE Ingenieros, basado en: Eurocódigo 3 EN 1993-1-5: 2006, Artículo 8)

Se debe satisfacer:

$$\frac{h_w}{t_w} \leq k \frac{E}{f_{yf}} \sqrt{\frac{A_w}{A_{fc,ef}}}$$

$$39.24 \leq 254.33 \checkmark$$

Donde:

h_w : Altura del alma.	h_w : <u>278.60</u> mm
t_w : Espesor del alma.	t_w : <u>7.10</u> mm
A_w : Área del alma.	A_w : <u>19.78</u> cm
$A_{fc,ef}$: Área reducida del ala comprimida.	$A_{fc,ef}$: <u>16.05</u> cm
k : Coeficiente que depende de la clase de la sección.	k : <u>0.30</u>
E : Módulo de elasticidad.	E : <u>210000</u> MPa
f_{yf} : Límite elástico del acero del ala comprimida.	f_{yf} : <u>275.00</u> MPa

Siendo:

$$f_{yf} = f_y$$

Resistencia a tracción (CTE DB SE-A, Artículo 6.2.3)

Se debe satisfacer:

$$\eta = \frac{N_{t,Ed}}{N_{t,Rd}} \leq 1 \qquad \eta : \underline{0.001} \checkmark$$

El esfuerzo solicitante de cálculo pésimo se produce para la combinación de acciones 0.8·PP+1.5·V(180°)H1.

$$N_{t,Ed}: \text{Axil de tracción solicitante de cálculo pésimo.} \qquad N_{t,Ed} : \underline{1.33} \text{ kN}$$

La resistencia de cálculo a tracción $N_{t,Rd}$ viene dada por:

$$N_{t,Rd} = A \cdot f_{yd} \qquad N_{t,Rd} : \underline{1409.05} \text{ kN}$$

Donde:

A : Área bruta de la sección transversal de la barra.	A : <u>53.80</u> cm
f_{yd} : Resistencia de cálculo del acero.	f_{yd} : <u>261.90</u> MPa
$f_{yd} = f_y / \gamma_{M0}$	
Siendo:	
f_y : Límite elástico. (CTE DB SE-A, Tabla 4.1)	f_y : <u>275.00</u> MPa
γ_{M0} : Coeficiente parcial de seguridad del material.	γ_{M0} : <u>1.05</u>

Resistencia a compresión (CTE DB SE-A, Artículo 6.2.5)

Se debe satisfacer:

$$\eta = \frac{N_{c,Ed}}{N_{c,Rd}} \leq 1 \qquad \eta : \underline{0.025} \checkmark$$

$$\eta = \frac{N_{c,Ed}}{N_{b,Rd}} \leq 1 \qquad \eta : \underline{0.090} \checkmark$$

El esfuerzo solicitante de cálculo pésimo se produce para la combinación de acciones $0.8 \cdot PP + 1.5 \cdot V(90^\circ)H2$.

$$\mathbf{N}_{c,Ed}: \text{Axil de compresión solicitante de cálculo pésimo.} \quad \mathbf{N}_{c,Ed} : \underline{34.33} \text{ kN}$$

La resistencia de cálculo a compresión $\mathbf{N}_{c,Rd}$ viene dada por:

$$\mathbf{N}_{c,Rd} = A_{ef} \cdot f_{yd} \quad \mathbf{N}_{c,Rd} : \underline{1380.14} \text{ kN}$$

Donde:

Clase: Clase de la sección, según la capacidad de deformación y de desarrollo de la resistencia plástica de los elementos planos comprimidos de una sección.

$$\mathbf{Clase} : \underline{4}$$

A_{ef}: Área de la sección eficaz para las secciones de clase 4.

$$\mathbf{A}_{ef} : \underline{52.70} \text{ cm}$$

f_{yd}: Resistencia de cálculo del acero.

$$\mathbf{f}_{yd} : \underline{261.90} \text{ MPa}$$

$$f_{yd} = f_y / \gamma_{M0}$$

Siendo:

f_y: Límite elástico. (CTE DB SE-A, Tabla 4.1)

$$\mathbf{f}_y : \underline{275.00} \text{ MPa}$$

γ_{M0}: Coeficiente parcial de seguridad del material.

$$\mathbf{\gamma}_{M0} : \underline{1.05}$$

Resistencia a pandeo: (CTE DB SE-A, Artículo 6.3.2)

La resistencia de cálculo a pandeo $\mathbf{N}_{b,Rd}$ en una barra comprimida viene dada por:

$$\mathbf{N}_{b,Rd} = \chi \cdot A_{ef} \cdot f_{yd} \quad \mathbf{N}_{b,Rd} : \underline{383.30} \text{ kN}$$

Donde:

A_{ef}: Área de la sección eficaz para las secciones de clase 4.

$$\mathbf{A}_{ef} : \underline{52.70} \text{ cm}$$

f_{yd}: Resistencia de cálculo del acero.

$$\mathbf{f}_{yd} : \underline{261.90} \text{ MPa}$$

$$f_{yd} = f_y / \gamma_{M1}$$

Siendo:

f_y: Límite elástico. (CTE DB SE-A, Tabla 4.1)

$$\mathbf{f}_y : \underline{275.00} \text{ MPa}$$

γ_{M1}: Coeficiente parcial de seguridad del material.

$$\mathbf{\gamma}_{M1} : \underline{1.05}$$

χ: Coeficiente de reducción por pandeo.

$$\chi = \frac{1}{\Phi + \sqrt{\Phi^2 - (\bar{\lambda})^2}} \leq 1$$

$$\mathbf{\chi}_y : \underline{0.94}$$

$$\mathbf{\chi}_z : \underline{0.28}$$

Siendo:

$$\Phi = 0.5 \cdot \left[1 + \alpha \cdot (\bar{\lambda} - 0.2) + (\bar{\lambda})^2 \right]$$

$$\mathbf{\Phi}_y : \underline{0.63}$$

$$\mathbf{\Phi}_z : \underline{2.20}$$

α: Coeficiente de imperfección elástica.

$$\mathbf{\alpha}_y : \underline{0.21}$$

$$\mathbf{\alpha}_z : \underline{0.34}$$

λ̄: Esbeltez reducida.

$$\bar{\lambda} = \sqrt{\frac{A_{ef} \cdot f_y}{N_{cr}}}$$

$$\mathbf{\bar{\lambda}}_y : \underline{0.46}$$

$$\mathbf{\bar{\lambda}}_z : \underline{1.70}$$

N_{cr} : Axil crítico elástico de pandeo, obtenido como el menor de los siguientes valores:	N_{cr} : <u>500.74</u> kN
N_{cr,y} : Axil crítico elástico de pandeo por flexión respecto al eje Y.	N_{cr,y} : <u>6927.51</u> kN
N_{cr,z} : Axil crítico elástico de pandeo por flexión respecto al eje Z.	N_{cr,z} : <u>500.74</u> kN
N_{cr,T} : Axil crítico elástico de pandeo por torsión.	N_{cr,T} : <u>∞</u>

Resistencia a flexión eje Y (CTE DB SE-A, Artículo 6.2.6)

Se debe satisfacer:

$$\eta = \frac{M_{Ed}}{M_{c,Rd}} \leq 1$$

$$\eta : \underline{0.011} \quad \checkmark$$

Para flexión positiva:

El esfuerzo solicitante de cálculo pésimo se produce en un punto situado a una distancia de 2.500 m del nudo N2, para la combinación de acciones 1.35·PP.

M_{Ed}⁺: Momento flector solicitante de cálculo pésimo.

$$\mathbf{M_{Ed}^+} : \underline{1.75} \text{ kN}\cdot\text{m}$$

Para flexión negativa:

M_{Ed}⁻: Momento flector solicitante de cálculo pésimo.

$$\mathbf{M_{Ed}^-} : \underline{0.00} \text{ kN}\cdot\text{m}$$

El momento flector resistente de cálculo **M_{c,Rd}** viene dado por:

$$\mathbf{M_{c,Rd}} = W_{pl,y} \cdot f_{yd}$$

$$\mathbf{M_{c,Rd}} : \underline{164.48} \text{ kN}\cdot\text{m}$$

Donde:

Clase: Clase de la sección, según la capacidad de deformación y de desarrollo de la resistencia plástica de los elementos planos de una sección a flexión simple.

$$\mathbf{Clase} : \underline{1}$$

W_{pl,y}: Módulo resistente plástico correspondiente a la fibra con mayor tensión, para las secciones de clase 1 y 2.

$$\mathbf{W_{pl,y}} : \underline{628.00} \text{ cm}$$

f_{vd}: Resistencia de cálculo del acero.

$$\mathbf{f_{vd}} : \underline{261.90} \text{ MPa}$$

$$f_{yd} = f_y / \gamma_{M0}$$

Siendo:

f_y: Límite elástico. (CTE DB SE-A, Tabla 4.1)

$$\mathbf{f_y} : \underline{275.00} \text{ MPa}$$

γ_{M0}: Coeficiente parcial de seguridad del material.

$$\mathbf{\gamma_{M0}} : \underline{1.05}$$

Resistencia a pandeo lateral: (CTE DB SE-A, Artículo 6.3.3.2)

No procede, dado que las longitudes de pandeo lateral son nulas.

Resistencia a flexión eje Z (CTE DB SE-A, Artículo 6.2.6)

La comprobación no procede, ya que no hay momento flector.

Resistencia a corte Z (CTE DB SE-A, Artículo 6.2.4)

Se debe satisfacer:

$$\eta = \frac{V_{Ed}}{V_{c,Rd}} \leq 1$$

$$\eta : \underline{0.004} \quad \checkmark$$

El esfuerzo solicitante de cálculo pésimo se produce en el nudo N2, para la combinación de acciones 1.35·PP.

V_{Ed} : Esfuerzo cortante solicitante de cálculo pésimo.

$$V_{Ed} : \underline{1.40} \text{ kN}$$

El esfuerzo cortante resistente de cálculo $V_{c,Rd}$ viene dado por:

$$V_{c,Rd} = A_v \cdot \frac{f_{yd}}{\sqrt{3}}$$

$$V_{c,Rd} : \underline{322.08} \text{ kN}$$

Donde:

A_v : Área transversal a cortante.

$$A_v : \underline{21.30} \text{ cm}$$

$$A_v = h \cdot t_w$$

Siendo:

h : Canto de la sección.

$$h : \underline{300.00} \text{ mm}$$

t_w : Espesor del alma.

$$t_w : \underline{7.10} \text{ mm}$$

f_{yd} : Resistencia de cálculo del acero.

$$f_{yd} : \underline{261.90} \text{ MPa}$$

$$f_{yd} = f_y / \gamma_{M0}$$

Siendo:

f_y : Límite elástico. (CTE DB SE-A, Tabla 4.1)

$$f_y : \underline{275.00} \text{ MPa}$$

γ_{M0} : Coeficiente parcial de seguridad del material.

$$\gamma_{M0} : \underline{1.05}$$

Abolladura por cortante del alma: (CTE DB SE-A, Artículo 6.3.3.4)

Aunque no se han dispuesto rigidizadores transversales, no es necesario comprobar la resistencia a la abolladura del alma, puesto que se cumple:

$$\frac{d}{t_w} < 70 \cdot \varepsilon$$

$$39.24 < 64.71 \quad \checkmark$$

Donde:

λ_w : Esbeltez del alma.

$$\lambda_w : \underline{39.24}$$

$$\lambda_w = \frac{d}{t_w}$$

$\lambda_{m\acute{a}x}$: Esbeltez máxima.

$$\lambda_{m\acute{a}x} : \underline{64.71}$$

$$\lambda_{m\acute{a}x} = 70 \cdot \varepsilon$$

ε : Factor de reducción.

$$\varepsilon : \underline{0.92}$$

$$\varepsilon = \sqrt{\frac{f_{ref}}{f_y}}$$

Siendo:

f_{ref} : Límite elástico de referencia.

$$f_{ref} : \underline{235.00} \text{ MPa}$$

f_y : Límite elástico. (CTE DB SE-A, Tabla 4.1)

$$f_y : \underline{275.00} \text{ MPa}$$

Resistencia a corte Y (CTE DB SE-A, Artículo 6.2.4)

La comprobación no procede, ya que no hay esfuerzo cortante.

Resistencia a momento flector Y y fuerza cortante Z combinados (CTE DB SE-A, Artículo 6.2.8)

No es necesario reducir la resistencia de cálculo a flexión, ya que el esfuerzo cortante solicitante de cálculo pésimo V_{Ed} no es superior al 50% de la resistencia de cálculo a cortante $V_{c,Rd}$.

$$V_{Ed} \leq \frac{V_{c,Rd}}{2}$$

$1.22 \text{ kN} \leq 161.04 \text{ kN}$ ✓

Los esfuerzos solicitantes de cálculo pésimos se producen en un punto situado a una distancia de 0.313 m del nudo N2, para la combinación de acciones 1.35·PP.

V_{Ed} : Esfuerzo cortante solicitante de cálculo pésimo.

V_{Ed} : 1.22 kN

$V_{c,Rd}$: Esfuerzo cortante resistente de cálculo.

$V_{c,Rd}$: 322.08 kN

Resistencia a momento flector Z y fuerza cortante Y combinados (CTE DB SE-A, Artículo 6.2.8)

No hay interacción entre momento flector y esfuerzo cortante para ninguna combinación. Por lo tanto, la comprobación no procede.

Resistencia a flexión y axil combinados (CTE DB SE-A, Artículo 6.2.8)

Se debe satisfacer:

$$\eta = \frac{N_{c,Ed}}{N_{pl,Rd}} + \frac{M_{y,Ed}}{M_{el,Rd,y}} + \frac{M_{z,Ed}}{M_{el,Rd,z}} \leq 1$$

η : 0.031 ✓

$$\eta = \frac{N_{c,Ed}}{\chi_y \cdot A \cdot f_{yd}} + k_y \cdot \frac{C_{m,y} \cdot M_{y,Ed}}{\chi_{LT} \cdot W_{el,y} \cdot f_{yd}} + \alpha_z \cdot k_z \cdot \frac{C_{m,z} \cdot M_{z,Ed}}{W_{el,z} \cdot f_{yd}} \leq 1$$

η : 0.033 ✓

$$\eta = \frac{N_{c,Ed}}{\chi_z \cdot A \cdot f_{yd}} + \alpha_y \cdot k_y \cdot \frac{C_{m,y} \cdot M_{y,Ed}}{W_{el,y} \cdot f_{yd}} + k_z \cdot \frac{C_{m,z} \cdot M_{z,Ed}}{W_{el,z} \cdot f_{yd}} \leq 1$$

η : 0.095 ✓

Los esfuerzos solicitantes de cálculo pésimos se producen en un punto situado a una distancia de 2.500 m del nudo N2, para la combinación de acciones 0.8·PP+1.5·V(90°)H2.

Donde:

$N_{c,Ed}$: Axil de compresión solicitante de cálculo pésimo.

$N_{c,Ed}$: 34.33 kN

M_{y,Ed}, M_{z,Ed}: Momentos flectores solicitantes de cálculo pésimos, según los ejes Y y Z, respectivamente.	M_{y,Ed}⁺: <u>1.04</u> kN·m
	M_{z,Ed}⁺: <u>0.00</u> kN·m
Clase: Clase de la sección, según la capacidad de deformación y de desarrollo de la resistencia plástica de sus elementos planos, para axil y flexión simple.	Clase: <u>3</u>
N_{pl,Rd}: Resistencia a compresión de la sección bruta.	N_{pl,Rd}: <u>1409.05</u> kN
M_{el,Rd,y}, M_{el,Rd,z}: Resistencia a flexión de la sección bruta en condiciones elásticas, respecto a los ejes Y y Z, respectivamente.	M_{el,Rd,y}: <u>145.90</u> kN·m
	M_{el,Rd,z}: <u>21.09</u> kN·m
Resistencia a pandeo: (CTE DB SE-A, Artículo 6.3.4.2)	
A: Área de la sección bruta.	A: <u>53.80</u> cm
W_{el,y}, W_{el,z}: Módulos resistentes elásticos correspondientes a la fibra comprimida, alrededor de los ejes Y y Z, respectivamente.	W_{el,y}: <u>557.07</u> cm
	W_{el,z}: <u>80.53</u> cm
f_{yd}: Resistencia de cálculo del acero.	f_{yd}: <u>261.90</u> MPa
$f_{yd} = f_y / \gamma_{M1}$	
Siendo:	
f_y: Límite elástico. (CTE DB SE-A, Tabla 4.1)	f_y: <u>275.00</u> MPa
γ_{M1}: Coeficiente parcial de seguridad del material.	γ_{M1}: <u>1.05</u>
k_y, k_z: Coeficientes de interacción.	
$k_y = 1 + 0.6 \cdot \bar{\lambda}_y \cdot \frac{N_{c,Ed}}{\chi_y \cdot N_{c,Rd}}$	k_y: <u>1.01</u>
$k_z = 1 + 0.6 \cdot \bar{\lambda}_z \cdot \frac{N_{c,Ed}}{\chi_z \cdot N_{c,Rd}}$	k_z: <u>1.05</u>
C_{m,y}, C_{m,z}: Factores de momento flector uniforme equivalente.	C_{m,y}: <u>1.00</u>
	C_{m,z}: <u>1.00</u>
χ_y, χ_z: Coeficientes de reducción por pandeo, alrededor de los ejes Y y Z, respectivamente.	χ_y: <u>0.94</u>
	χ_z: <u>0.27</u>
λ̄_y, λ̄_z: Esbelteces reducidas con valores no mayores que 1.00, en relación a los ejes Y y Z, respectivamente.	λ̄_y: <u>0.46</u>
	λ̄_z: <u>1.72</u>
α_y, α_z: Factores dependientes de la clase de la sección.	α_y: <u>0.80</u>
	α_z: <u>1.00</u>

Resistencia a flexión, axil y cortante combinados (CTE DB SE-A, Artículo 6.2.8)

No es necesario reducir las resistencias de cálculo a flexión y a axil, ya que se puede ignorar el efecto de abolladura por esfuerzo cortante y, además, el esfuerzo cortante solicitante de cálculo pésimo **V_{Ed}** es menor o igual que el 50% del esfuerzo cortante resistente de cálculo **V_{c,Rd}**.

Los esfuerzos solicitantes de cálculo pésimos se producen en un punto situado a una distancia de 0.313 m del nudo N2, para la combinación de acciones 1.35·PP.

$$V_{Ed,z} \leq \frac{V_{c,Rd,z}}{2}$$

$$1.22 \text{ kN} \leq 161.04 \text{ kN} \quad \checkmark$$

Donde:

$V_{Ed,z}$: Esfuerzo cortante solicitante de cálculo pésimo.

$$V_{Ed,z} : \frac{1.22}{\quad} \text{ kN}$$

$V_{c,Rd,z}$: Esfuerzo cortante resistente de cálculo.

$$V_{c,Rd,z} : \frac{322.08}{\quad} \text{ kN}$$

Resistencia a torsión (CTE DB SE-A, Artículo 6.2.7)

La comprobación no procede, ya que no hay momento torsor.

Resistencia a cortante Z y momento torsor combinados (CTE DB SE-A, Artículo 6.2.8)

No hay interacción entre momento torsor y esfuerzo cortante para ninguna combinación. Por lo tanto, la comprobación no procede.

Resistencia a cortante Y y momento torsor combinados (CTE DB SE-A, Artículo 6.2.8)

No hay interacción entre momento torsor y esfuerzo cortante para ninguna combinación. Por lo tanto, la comprobación no procede.

1.13 Viga perimetral exterior pórtico de interior

Perfil: IPE 80 Material: Acero (S275)						
Nudos	Longitud (m)		Características mecánicas			
	Inicial	Final	Área (cm ²)	I _y ⁽¹⁾ (cm ⁴)	I _z ⁽¹⁾ (cm ⁴)	I _t ⁽²⁾ (cm ⁴)
N10	N18	5.000	7.64	80.10	8.49	0.70
Notas: ⁽¹⁾ Inercia respecto al eje indicado ⁽²⁾ Momento de inercia a torsión uniforme						
		Pandeo		Pandeo lateral		
		Plano XY	Plano XZ	Ala sup.	Ala inf.	
β	0.00	0.00	0.00	0.00	0.00	
L _K	0.000	0.000	0.000	0.000	0.000	
C _m	1.000	1.000	1.000	1.000	1.000	
C ₁	-		1.000			
Notación: β: Coeficiente de pandeo L _K : Longitud de pandeo (m) C _m : Coeficiente de momentos C ₁ : Factor de modificación para el momento crítico						

Barra	COMPROBACIONES (CTE DB SE-A)													Estado		
	$\bar{\lambda}$	λ_w	N _t	N _c	M _y	M _z	V _z	V _y	M _y V _z	M _z V _y	NM _y M _z	NM _y M _z V _y V _z	M _t		M _t V _z	M _t V _y
N10/N18	$\bar{\lambda} < 2.0$ Cumple	x: 0.313 m $\lambda_w \leq \lambda_{w,max}$ Cumple	η = 11.4	η = 4.7	x: 2.5 m η = 4.1	M _{Ed} = 0.00 N.P. ⁽¹⁾	x: 0 m η = 0.4	V _{Ed} = 0.00 N.P. ⁽²⁾	x: 0.313 m η < 0.1	N.P. ⁽³⁾	x: 2.5 m η = 15.4	x: 0.313 m η < 0.1	M _{Ed} = 0.00 N.P. ⁽⁴⁾	N.P. ⁽⁵⁾	N.P. ⁽⁵⁾	CUMPLE η = 15.4
Notación: λ̄: Limitación de esbeltez λ _w : Abolladura del alma inducida por el ala comprimida N _t : Resistencia a tracción N _c : Resistencia a compresión M _y : Resistencia a flexión eje Y M _z : Resistencia a flexión eje Z V _z : Resistencia a corte Z V _y : Resistencia a corte Y M _y V _z : Resistencia a momento flector Y y fuerza cortante Z combinados M _z V _y : Resistencia a momento flector Z y fuerza cortante Y combinados NM _y M _z : Resistencia a flexión y axil combinados NM _y M _z V _y V _z : Resistencia a flexión, axil y cortante combinados M _t : Resistencia a torsión M _t V _z : Resistencia a cortante Z y momento torsor combinados M _t V _y : Resistencia a cortante Y y momento torsor combinados x: Distancia al origen de la barra η: Coeficiente de aprovechamiento (%) N.P.: No procede																
Comprobaciones que no proceden (N.P.): ⁽¹⁾ La comprobación no procede, ya que no hay momento flector. ⁽²⁾ La comprobación no procede, ya que no hay esfuerzo cortante. ⁽³⁾ No hay interacción entre momento flector y esfuerzo cortante para ninguna combinación. Por lo tanto, la comprobación no procede. ⁽⁴⁾ La comprobación no procede, ya que no hay momento torsor. ⁽⁵⁾ No hay interacción entre momento torsor y esfuerzo cortante para ninguna combinación. Por lo tanto, la comprobación no procede.																

Limitación de esbeltez (CTE DB SE-A, Artículos 6.3.1 y 6.3.2.1 - Tabla 6.3)

La esbeltez reducida $\bar{\lambda}$ de las barras comprimidas debe ser inferior al valor 2.0.

$$\bar{\lambda} = \sqrt{\frac{A \cdot f_y}{N_{cr}}}$$

$$\bar{\lambda} < \underline{0.01} \quad \checkmark$$

Donde:

Clase: Clase de la sección, según la capacidad de deformación y de desarrollo de la resistencia plástica de los elementos planos comprimidos de una sección.

Clase : 1

A: Área de la sección bruta para las secciones de clase 1, 2 y 3.

A : 7.64 cm

f_y: Límite elástico. (CTE DB SE-A, Tabla 4.1)

f_y : 275.00 MPa

N_{cr}: Axil crítico elástico de pandeo mínimo, teniendo en cuenta que las longitudes de pandeo son nulas.

N_{cr} : ∞

Abolladura del alma inducida por el ala comprimida (Criterio de CYPE Ingenieros, basado en: Eurocódigo 3 EN 1993-1-5: 2006, Artículo 8)

Se debe satisfacer:

$$\frac{h_w}{t_w} \leq k \frac{E}{f_{yf}} \sqrt{\frac{A_w}{A_{fc,ef}}} \quad 18.32 \leq 240.89 \checkmark$$

Donde:

h_w : Altura del alma.	h_w : <u>69.60</u> mm
t_w : Espesor del alma.	t_w : <u>3.80</u> mm
A_w : Área del alma.	A_w : <u>2.64</u> cm
$A_{fc,ef}$: Área reducida del ala comprimida.	$A_{fc,ef}$: <u>2.39</u> cm
k : Coeficiente que depende de la clase de la sección.	k : <u>0.30</u>
E : Módulo de elasticidad.	E : <u>210000</u> MPa
f_{yf} : Límite elástico del acero del ala comprimida.	f_{yf} : <u>275.00</u> MPa

Siendo:

$$f_{yf} = f_y$$

Resistencia a tracción (CTE DB SE-A, Artículo 6.2.3)

Se debe satisfacer:

$$\eta = \frac{N_{t,Ed}}{N_{t,Rd}} \leq 1 \quad \eta : \underline{0.114} \checkmark$$

El esfuerzo solicitante de cálculo pésimo se produce para la combinación de acciones 1.35·PP+1.05·Q+1.5·V(0°)H3+0.75·N(EI).

$N_{t,Ed}$: Axil de tracción solicitante de cálculo pésimo.	$N_{t,Ed}$: <u>22.74</u> kN
--	------------------------------

La resistencia de cálculo a tracción $N_{t,Rd}$ viene dada por:

$$N_{t,Rd} = A \cdot f_{yd} \quad N_{t,Rd} : \underline{200.10} \text{ kN}$$

Donde:

A : Área bruta de la sección transversal de la barra.	A : <u>7.64</u> cm
f_{yd} : Resistencia de cálculo del acero.	f_{yd} : <u>261.90</u> MPa

$$f_{yd} = f_y / \gamma_{M0}$$

Siendo:

f_y : Límite elástico. (CTE DB SE-A, Tabla 4.1)	f_y : <u>275.00</u> MPa
γ_{M0} : Coeficiente parcial de seguridad del material.	γ_{M0} : <u>1.05</u>

Resistencia a compresión (CTE DB SE-A, Artículo 6.2.5)

Se debe satisfacer:

$$\eta = \frac{N_{c,Ed}}{N_{c,Rd}} \leq 1$$

$$\eta : \underline{0.047} \checkmark$$

El esfuerzo solicitante de cálculo pésimo se produce para la combinación de acciones 0.8·PP+1.5·V(90°)H2.

$N_{c,Ed}$: Axil de compresión solicitante de cálculo pésimo.

$$N_{c,Ed} : \underline{9.47} \text{ kN}$$

La resistencia de cálculo a compresión $N_{c,Rd}$ viene dada por:

$$N_{c,Rd} = A \cdot f_{yd}$$

$$N_{c,Rd} : \underline{200.10} \text{ kN}$$

Donde:

Clase: Clase de la sección, según la capacidad de deformación y de desarrollo de la resistencia plástica de los elementos planos comprimidos de una sección.

$$\text{Clase} : \underline{1}$$

A: Área de la sección bruta para las secciones de clase 1, 2 y 3.

$$A : \underline{7.64} \text{ cm}$$

f_{yd} : Resistencia de cálculo del acero.

$$f_{yd} : \underline{261.90} \text{ MPa}$$

$$f_{yd} = f_y / \gamma_{M0}$$

Siendo:

f_y : Límite elástico. (CTE DB SE-A, Tabla 4.1)

$$f_y : \underline{275.00} \text{ MPa}$$

γ_{M0} : Coeficiente parcial de seguridad del material.

$$\gamma_{M0} : \underline{1.05}$$

Resistencia a pandeo: (CTE DB SE-A, Artículo 6.3.2)

No procede, dado que las longitudes de pandeo son nulas.

Resistencia a flexión eje Y (CTE DB SE-A, Artículo 6.2.6)

Se debe satisfacer:

$$\eta = \frac{M_{Ed}}{M_{c,Rd}} \leq 1$$

$$\eta : \underline{0.041} \checkmark$$

Para flexión positiva:

El esfuerzo solicitante de cálculo pésimo se produce en un punto situado a una distancia de 2.500 m del nudo N10, para la combinación de acciones 1.35·PP.

M_{Ed}^+ : Momento flector solicitante de cálculo pésimo.

$$M_{Ed}^+ : \underline{0.25} \text{ kN}\cdot\text{m}$$

Para flexión negativa:

M_{Ed}^- : Momento flector solicitante de cálculo pésimo.

$$M_{Ed}^- : \underline{0.00} \text{ kN}\cdot\text{m}$$

El momento flector resistente de cálculo $M_{c,Rd}$ viene dado por:

$$M_{c,Rd} = W_{pl,y} \cdot f_{yd}$$

$$M_{c,Rd} : \underline{6.08} \text{ kN}\cdot\text{m}$$

Donde:

Clase: Clase de la sección, según la capacidad de deformación y de desarrollo de la resistencia plástica de los elementos planos de una sección a flexión simple.

Clase : 1

W_{pl,y}: Módulo resistente plástico correspondiente a la fibra con mayor tensión, para las secciones de clase 1 y 2.

W_{pl,y} : 23.20 cm

f_{yd}: Resistencia de cálculo del acero.

f_{yd} : 261.90 MPa

$$f_{yd} = f_y / \gamma_{M0}$$

Siendo:

f_y: Límite elástico. (CTE DB SE-A, Tabla 4.1)

f_y : 275.00 MPa

γ_{M0}: Coeficiente parcial de seguridad del material.

γ_{M0} : 1.05

Resistencia a pandeo lateral: (CTE DB SE-A, Artículo 6.3.3.2)

No procede, dado que las longitudes de pandeo lateral son nulas.

Resistencia a flexión eje Z (CTE DB SE-A, Artículo 6.2.6)

La comprobación no procede, ya que no hay momento flector.

Resistencia a corte Z (CTE DB SE-A, Artículo 6.2.4)

Se debe satisfacer:

$$\eta = \frac{V_{Ed}}{V_{c,Rd}} \leq 1$$

η : 0.004 ✓

El esfuerzo solicitante de cálculo pésimo se produce en el nudo N10, para la combinación de acciones 1.35·PP.

V_{Ed}: Esfuerzo cortante solicitante de cálculo pésimo.

V_{Ed} : 0.20 kN

El esfuerzo cortante resistente de cálculo **V_{c,Rd}** viene dado por:

$$V_{c,Rd} = A_v \cdot \frac{f_{yd}}{\sqrt{3}}$$

V_{c,Rd} : 45.97 kN

Donde:

A_v: Área transversal a cortante.

A_v : 3.04 cm

$$A_v = h \cdot t_w$$

Siendo:

h: Canto de la sección.

h : 80.00 mm

t_w: Espesor del alma.

t_w : 3.80 mm

f_{yd}: Resistencia de cálculo del acero.

f_{yd} : 261.90 MPa

$$f_{yd} = f_y / \gamma_{M0}$$

Siendo:

f_y: Límite elástico. (CTE DB SE-A, Tabla 4.1)

f_y : 275.00 MPa

γ_{M0} : Coeficiente parcial de seguridad del material.

γ_{M0} : 1.05

Abolladura por cortante del alma: (CTE DB SE-A, Artículo 6.3.3.4)

Aunque no se han dispuesto rigidizadores transversales, no es necesario comprobar la resistencia a la abolladura del alma, puesto que se cumple:

$$\frac{d}{t_w} < 70 \cdot \varepsilon \quad \mathbf{18.32 < 64.71} \quad \checkmark$$

Donde:

λ_w : Esbeltez del alma.

λ_w : 18.32

$$\lambda_w = \frac{d}{t_w}$$

$\lambda_{m\acute{a}x}$: Esbeltez máxima.

$\lambda_{m\acute{a}x}$: 64.71

$$\lambda_{m\acute{a}x} = 70 \cdot \varepsilon$$

ε : Factor de reducción.

ε : 0.92

$$\varepsilon = \sqrt{\frac{f_{ref}}{f_y}}$$

Siendo:

f_{ref} : Límite elástico de referencia.

f_{ref} : 235.00 MPa

f_y : Límite elástico. (CTE DB SE-A, Tabla 4.1)

f_y : 275.00 MPa

Resistencia a corte Y (CTE DB SE-A, Artículo 6.2.4)

La comprobación no procede, ya que no hay esfuerzo cortante.

Resistencia a momento flector Y y fuerza cortante Z combinados (CTE DB SE-A, Artículo 6.2.8)

No es necesario reducir la resistencia de cálculo a flexión, ya que el esfuerzo cortante solicitante de cálculo pésimo V_{Ed} no es superior al 50% de la resistencia de cálculo a cortante $V_{c,Rd}$.

$$V_{Ed} \leq \frac{V_{c,Rd}}{2} \quad \mathbf{0.17 \text{ kN} \leq 22.98 \text{ kN}} \quad \checkmark$$

Los esfuerzos solicitantes de cálculo pésimos se producen en un punto situado a una distancia de 0.313 m del nudo N10, para la combinación de acciones 1.35·PP.

V_{Ed} : Esfuerzo cortante solicitante de cálculo pésimo.

V_{Ed} : 0.17 kN

$V_{c,Rd}$: Esfuerzo cortante resistente de cálculo.

$V_{c,Rd}$: 45.97 kN

Resistencia a momento flector Z y fuerza cortante Y combinados (CTE DB SE-A, Artículo 6.2.8)

No hay interacción entre momento flector y esfuerzo cortante para ninguna combinación. Por lo tanto, la comprobación no procede.

Resistencia a flexión y axil combinados (CTE DB SE-A, Artículo 6.2.8)

Se debe satisfacer:

$$\eta = \frac{N_{t,Ed}}{N_{pl,Rd}} + \frac{M_{y,Ed}}{M_{pl,Rd,y}} + \frac{M_{z,Ed}}{M_{pl,Rd,z}} \leq 1$$

$$\eta : \underline{0.154} \quad \checkmark$$

Los esfuerzos solicitantes de cálculo pésimos se producen en un punto situado a una distancia de 2.500 m del nudo N10, para la combinación de acciones 1.35·PP+1.05·Q+1.5·V(0°)H3+0.75·N(EI).

Donde:

N_{t,Ed}: Axil de tracción solicitante de cálculo pésimo.

$$N_{t,Ed} : \underline{22.74} \text{ kN}$$

M_{y,Ed}, M_{z,Ed}: Momentos flectores solicitantes de cálculo pésimos, según los ejes Y y Z, respectivamente.

$$M_{y,Ed}^+ : \underline{0.25} \text{ kN}\cdot\text{m}$$

$$M_{z,Ed}^+ : \underline{0.00} \text{ kN}\cdot\text{m}$$

Clase: Clase de la sección, según la capacidad de deformación y de desarrollo de la resistencia plástica de sus elementos planos, para axil y flexión simple.

$$\text{Clase} : \underline{1}$$

N_{pl,Rd}: Resistencia a tracción.

$$N_{pl,Rd} : \underline{200.10} \text{ kN}$$

M_{pl,Rd,y}, M_{pl,Rd,z}: Resistencia a flexión de la sección bruta en condiciones plásticas, respecto a los ejes Y y Z, respectivamente.

$$M_{pl,Rd,y} : \underline{6.08} \text{ kN}\cdot\text{m}$$

$$M_{pl,Rd,z} : \underline{1.52} \text{ kN}\cdot\text{m}$$

Resistencia a pandeo: (CTE DB SE-A, Artículo 6.3.4.1)

No procede, dado que tanto las longitudes de pandeo como las longitudes de pandeo lateral son nulas.

Resistencia a flexión, axil y cortante combinados (CTE DB SE-A, Artículo 6.2.8)

No es necesario reducir las resistencias de cálculo a flexión y a axil, ya que se puede ignorar el efecto de abolladura por esfuerzo cortante y, además, el esfuerzo cortante solicitante de cálculo pésimo **V_{Ed}** es menor o igual que el 50% del esfuerzo cortante resistente de cálculo **V_{c,Rd}**.

Los esfuerzos solicitantes de cálculo pésimos se producen en un punto situado a una distancia de 0.313 m del nudo N10, para la combinación de acciones 1.35·PP.

$$V_{Ed,z} \leq \frac{V_{c,Rd,z}}{2}$$

$$0.17 \text{ kN} \leq \underline{22.98 \text{ kN}} \quad \checkmark$$

Donde:

V_{Ed,z}: Esfuerzo cortante solicitante de cálculo pésimo.

$$V_{Ed,z} : \underline{0.17} \text{ kN}$$

V_{c,Rd,z}: Esfuerzo cortante resistente de cálculo.

$$V_{c,Rd,z} : \underline{45.97} \text{ kN}$$

Resistencia a torsión (CTE DB SE-A, Artículo 6.2.7)

La comprobación no procede, ya que no hay momento torsor.

Resistencia a cortante Z y momento torsor combinados (CTE DB SE-A, Artículo 6.2.8)

No hay interacción entre momento torsor y esfuerzo cortante para ninguna combinación. Por lo tanto, la comprobación no procede.

Resistencia a cortante Y y momento torsor combinados (CTE DB SE-A, Artículo 6.2.8)

No hay interacción entre momento torsor y esfuerzo cortante para ninguna combinación. Por lo tanto, la comprobación no procede.

1.14 Viga perimetral interior, pórtico exterior

Perfil: IPE 300 Material: Acero (S275)						
Nudos	Longitud (m)	Características mecánicas				
		Área (cm ²)	I _y ⁽¹⁾ (cm ⁴)	I _z ⁽¹⁾ (cm ⁴)	I _t ⁽²⁾ (cm ⁴)	
N4	N12	5.000	53.80	8356.00	604.00	20.10
Notas: ⁽¹⁾ Inercia respecto al eje indicado ⁽²⁾ Momento de inercia a torsión uniforme						
		Pandeo		Pandeo lateral		
		Plano XY	Plano XZ	Ala sup.	Ala inf.	
β	1.00	1.00	0.00	0.00		
L _K	5.000	5.000	0.000	0.000		
C _m	1.000	1.000	1.000	1.000		
C ₁	-		1.000			
Notación: β: Coeficiente de pandeo L _K : Longitud de pandeo (m) C _m : Coeficiente de momentos C ₁ : Factor de modificación para el momento crítico						

Barra	COMPROBACIONES (CTE DB SE-A)															Estado
	$\bar{\lambda}$	λ_{wv}	N _t	N _c	M _y	M _z	V _z	V _y	M _y V _z	M _z V _y	NM _y M _z	NM _y M _z V _y V _z	M _t	M _t V _z	M _t V _y	
N4/N12	$\bar{\lambda} < 2.0$ Cumple	x: 0.313 m $\lambda_{wv} \leq \lambda_{w, \text{máx}}$ Cumple	η = 0.2	η = 28.6	x: 2.5 m η = 1.1	M _{Ed} = 0.00 N.P. ⁽¹⁾	x: 0 m η = 0.4	V _{Ed} = 0.00 N.P. ⁽²⁾	x: 0.313 m η < 0.1	N.P. ⁽³⁾	x: 2.5 m η = 29.5	x: 0.313 m η < 0.1	M _{Ed} = 0.00 N.P. ⁽⁴⁾	N.P. ⁽⁵⁾	N.P. ⁽⁵⁾	CUMPLE η = 29.5
Notación: $\bar{\lambda}$: Limitación de esbeltez λ_{wv} : Abolladura del alma inducida por el ala comprimida N _t : Resistencia a tracción N _c : Resistencia a compresión M _y : Resistencia a flexión eje Y M _z : Resistencia a flexión eje Z V _z : Resistencia a corte Z V _y : Resistencia a corte Y M _y V _z : Resistencia a momento flector Y y fuerza cortante Z combinados M _z V _y : Resistencia a momento flector Z y fuerza cortante Y combinados NM _y M _z : Resistencia a flexión y axil combinados NM _y M _z V _y V _z : Resistencia a flexión, axil y cortante combinados M _t : Resistencia a torsión M _t V _z : Resistencia a cortante Z y momento torsor combinados M _t V _y : Resistencia a cortante Y y momento torsor combinados x: Distancia al origen de la barra η: Coeficiente de aprovechamiento (%) N.P.: No procede																
Comprobaciones que no proceden (N.P.): ⁽¹⁾ La comprobación no procede, ya que no hay momento flector. ⁽²⁾ La comprobación no procede, ya que no hay esfuerzo cortante. ⁽³⁾ No hay interacción entre momento flector y esfuerzo cortante para ninguna combinación. Por lo tanto, la comprobación no procede. ⁽⁴⁾ La comprobación no procede, ya que no hay momento torsor. ⁽⁵⁾ No hay interacción entre momento torsor y esfuerzo cortante para ninguna combinación. Por lo tanto, la comprobación no procede.																

Limitación de esbeltez (CTE DB SE-A, Artículos 6.3.1 y 6.3.2.1 - Tabla 6.3)

La esbeltez reducida $\bar{\lambda}$ de las barras comprimidas debe ser inferior al valor 2.0.

$$\bar{\lambda} = \sqrt{\frac{A_{ef} \cdot f_y}{N_{cr}}}$$

$$\bar{\lambda} : \quad \underline{1.70} \quad \checkmark$$

Donde:

Clase: Clase de la sección, según la capacidad de deformación y de desarrollo de la resistencia plástica de los elementos planos comprimidos de una sección. **Clase :** 4

A_{ef}: Área de la sección eficaz para las secciones de clase 4. **A_{ef} :** 52.70 cm

f_y: Límite elástico. (CTE DB SE-A, Tabla 4.1) **f_y :** 275.00 MPa

N_{cr}: Axil crítico de pandeo elástico. **N_{cr} :** 500.74 kN

El axil crítico de pandeo elástico N_{cr} es el menor de los valores obtenidos en a), b) y c):

a) Axil crítico elástico de pandeo por flexión respecto al eje Y.

$$N_{cr,y} : \underline{6927.51} \text{ kN}$$

$$N_{cr,y} = \frac{\pi^2 \cdot E \cdot I_y}{L_{ky}^2}$$

b) Axil crítico elástico de pandeo por flexión respecto al eje Z.

$$N_{cr,z} : \underline{500.74} \text{ kN}$$

$$N_{cr,z} = \frac{\pi^2 \cdot E \cdot I_z}{L_{kz}^2}$$

c) Axil crítico elástico de pandeo por torsión.

$$N_{cr,T} : \underline{\infty}$$

$$N_{cr,T} = \frac{1}{i_0^2} \cdot \left[G \cdot I_t + \frac{\pi^2 \cdot E \cdot I_w}{L_{kt}^2} \right]$$

Donde:

I_y : Momento de inercia de la sección bruta, respecto al eje Y.

$$I_y : \underline{8356.00} \text{ cm}^4$$

I_z : Momento de inercia de la sección bruta, respecto al eje Z.

$$I_z : \underline{604.00} \text{ cm}^4$$

I_t : Momento de inercia a torsión uniforme.

$$I_t : \underline{20.10} \text{ cm}^4$$

I_w : Constante de alabeo de la sección.

$$I_w : \underline{126000.00} \text{ cm}^6$$

E : Módulo de elasticidad.

$$E : \underline{210000} \text{ MPa}$$

G : Módulo de elasticidad transversal.

$$G : \underline{81000} \text{ MPa}$$

L_{ky} : Longitud efectiva de pandeo por flexión, respecto al eje Y.

$$L_{ky} : \underline{5.000} \text{ m}$$

L_{kz} : Longitud efectiva de pandeo por flexión, respecto al eje Z.

$$L_{kz} : \underline{5.000} \text{ m}$$

L_{kt} : Longitud efectiva de pandeo por torsión.

$$L_{kt} : \underline{0.000} \text{ m}$$

i_0 : Radio de giro polar de la sección bruta, respecto al centro de torsión.

$$i_0 : \underline{12.91} \text{ cm}$$

$$i_0 = (i_y^2 + i_z^2 + y_0^2 + z_0^2)^{0.5}$$

Siendo:

i_y, i_z : Radios de giro de la sección bruta, respecto a los ejes principales de inercia Y y Z.

$$i_y : \underline{12.46} \text{ cm}$$

$$i_z : \underline{3.35} \text{ cm}$$

y_0, z_0 : Coordenadas del centro de torsión en la dirección de los ejes principales Y y Z, respectivamente, relativas al centro de gravedad de la sección.

$$y_0 : \underline{0.00} \text{ mm}$$

$$z_0 : \underline{0.00} \text{ mm}$$

Abolladura del alma inducida por el ala comprimida (Criterio de CYPE Ingenieros, basado en: Eurocódigo 3 EN 1993-1-5: 2006, Artículo 8)

Se debe satisfacer:

$$\frac{h_w}{t_w} \leq k \frac{E}{f_{yf}} \sqrt{\frac{A_w}{A_{fc,ef}}}$$

$$39.24 \leq 254.33 \checkmark$$

Donde:

h_w : Altura del alma.	h_w : <u>278.60</u> mm
t_w : Espesor del alma.	t_w : <u>7.10</u> mm
A_w : Área del alma.	A_w : <u>19.78</u> cm
A_{fc,ef} : Área reducida del ala comprimida.	A_{fc,ef} : <u>16.05</u> cm
k : Coeficiente que depende de la clase de la sección.	k : <u>0.30</u>
E : Módulo de elasticidad.	E : <u>210000</u> MPa
f_{vf} : Límite elástico del acero del ala comprimida.	f_{vf} : <u>275.00</u> MPa
Siendo:	
$f_{yf} = f_y$	

Resistencia a tracción (CTE DB SE-A, Artículo 6.2.3)

Se debe satisfacer:

$$\eta = \frac{N_{t,Ed}}{N_{t,Rd}} \leq 1 \qquad \eta : \underline{0.002} \quad \checkmark$$

El esfuerzo solicitante de cálculo pésimo se produce para la combinación de acciones 1.35·PP+1.5·Q+0.9·V(180°)H3+0.75·N(EI).

N_{t,Ed}: Axil de tracción solicitante de cálculo pésimo. **N_{t,Ed}** : 3.22 kN

La resistencia de cálculo a tracción **N_{t,Rd}** viene dada por:

$$N_{t,Rd} = A \cdot f_{yd} \qquad N_{t,Rd} : \underline{1409.05} \text{ kN}$$

Donde:

A: Área bruta de la sección transversal de la barra. **A** : 53.80 cm

f_{vd}: Resistencia de cálculo del acero. **f_{vd}** : 261.90 MPa

$$f_{yd} = f_y / \gamma_{M0}$$

Siendo:

f_y: Límite elástico. (CTE DB SE-A, Tabla 4.1) **f_y** : 275.00 MPa

γ_{M0}: Coeficiente parcial de seguridad del material. **γ_{M0}** : 1.05

Resistencia a compresión (CTE DB SE-A, Artículo 6.2.5)

Se debe satisfacer:

$$\eta = \frac{N_{c,Ed}}{N_{c,Rd}} \leq 1 \qquad \eta : \underline{0.079} \quad \checkmark$$

$$\eta = \frac{N_{c,Ed}}{N_{b,Rd}} \leq 1 \qquad \eta : \underline{0.286} \quad \checkmark$$

El esfuerzo solicitante de cálculo pésimo se produce para la combinación de acciones $1.35 \cdot PP + 1.05 \cdot Q + 1.5 \cdot V(90^\circ)H2 + 0.75 \cdot N(EI)$.

$$N_{c,Ed}: \text{Axil de compresión solicitante de cálculo pésimo.} \quad N_{c,Ed} : \underline{109.56} \text{ kN}$$

La resistencia de cálculo a compresión $N_{c,Rd}$ viene dada por:

$$N_{c,Rd} = A_{ef} \cdot f_{yd} \quad N_{c,Rd} : \underline{1380.14} \text{ kN}$$

Donde:

Clase: Clase de la sección, según la capacidad de deformación y de desarrollo de la resistencia plástica de los elementos planos comprimidos de una sección.

$$\text{Clase} : \underline{4}$$

A_{ef}: Área de la sección eficaz para las secciones de clase 4.

$$A_{ef} : \underline{52.70} \text{ cm}$$

f_{yd}: Resistencia de cálculo del acero.

$$f_{yd} : \underline{261.90} \text{ MPa}$$

$$f_{yd} = f_y / \gamma_{M0}$$

Siendo:

f_y: Límite elástico. (CTE DB SE-A, Tabla 4.1)

$$f_y : \underline{275.00} \text{ MPa}$$

γ_{M0}: Coeficiente parcial de seguridad del material.

$$\gamma_{M0} : \underline{1.05}$$

Resistencia a pandeo: (CTE DB SE-A, Artículo 6.3.2)

La resistencia de cálculo a pandeo $N_{b,Rd}$ en una barra comprimida viene dada por:

$$N_{b,Rd} = \chi \cdot A_{ef} \cdot f_{yd} \quad N_{b,Rd} : \underline{383.30} \text{ kN}$$

Donde:

A_{ef}: Área de la sección eficaz para las secciones de clase 4.

$$A_{ef} : \underline{52.70} \text{ cm}$$

f_{yd}: Resistencia de cálculo del acero.

$$f_{yd} : \underline{261.90} \text{ MPa}$$

$$f_{yd} = f_y / \gamma_{M1}$$

Siendo:

f_y: Límite elástico. (CTE DB SE-A, Tabla 4.1)

$$f_y : \underline{275.00} \text{ MPa}$$

γ_{M1}: Coeficiente parcial de seguridad del material.

$$\gamma_{M1} : \underline{1.05}$$

χ: Coeficiente de reducción por pandeo.

$$\chi = \frac{1}{\Phi + \sqrt{\Phi^2 - (\bar{\lambda})^2}} \leq 1$$

$$\chi_y : \underline{0.94}$$

$$\chi_z : \underline{0.28}$$

Siendo:

$$\Phi = 0.5 \cdot \left[1 + \alpha \cdot (\bar{\lambda} - 0.2) + (\bar{\lambda})^2 \right]$$

$$\phi_y : \underline{0.63}$$

$$\phi_z : \underline{2.20}$$

α: Coeficiente de imperfección elástica.

$$\alpha_y : \underline{0.21}$$

$$\alpha_z : \underline{0.34}$$

λ̄: Esbeltez reducida.

$$\bar{\lambda} = \sqrt{\frac{A_{ef} \cdot f_y}{N_{cr}}}$$

$$\bar{\lambda}_y : \underline{0.46}$$

$$\bar{\lambda}_z : \underline{1.70}$$

N_{cr}: Axil crítico elástico de pandeo, obtenido como el menor de los siguientes valores:

$$N_{cr} : \underline{500.74} \text{ kN}$$

$N_{cr,y}$: Axil crítico elástico de pandeo por flexión respecto al eje Y.	$N_{cr,y}$: <u>6927.51</u> kN
$N_{cr,z}$: Axil crítico elástico de pandeo por flexión respecto al eje Z.	$N_{cr,z}$: <u>500.74</u> kN
$N_{cr,T}$: Axil crítico elástico de pandeo por torsión.	$N_{cr,T}$: <u>∞</u>

Resistencia a flexión eje Y (CTE DB SE-A, Artículo 6.2.6)

Se debe satisfacer:

$$\eta = \frac{M_{Ed}}{M_{c,Rd}} \leq 1$$

$$\eta : \underline{0.011} \quad \checkmark$$

Para flexión positiva:

El esfuerzo solicitante de cálculo pésimo se produce en un punto situado a una distancia de 2.500 m del nudo N4, para la combinación de acciones 1.35·PP.

M_{Ed}^+ : Momento flector solicitante de cálculo pésimo.

$$M_{Ed}^+ : \underline{1.75} \text{ kN}\cdot\text{m}$$

Para flexión negativa:

M_{Ed}^- : Momento flector solicitante de cálculo pésimo.

$$M_{Ed}^- : \underline{0.00} \text{ kN}\cdot\text{m}$$

El momento flector resistente de cálculo $M_{c,Rd}$ viene dado por:

$$M_{c,Rd} = W_{pl,y} \cdot f_{yd}$$

$$M_{c,Rd} : \underline{164.48} \text{ kN}\cdot\text{m}$$

Donde:

Clase: Clase de la sección, según la capacidad de deformación y de desarrollo de la resistencia plástica de los elementos planos de una sección a flexión simple.

$$\text{Clase} : \underline{1}$$

$W_{pl,y}$: Módulo resistente plástico correspondiente a la fibra con mayor tensión, para las secciones de clase 1 y 2.

$$W_{pl,y} : \underline{628.00} \text{ cm}$$

f_{yd} : Resistencia de cálculo del acero.

$$f_{yd} : \underline{261.90} \text{ MPa}$$

$$f_{yd} = f_y / \gamma_{M0}$$

Siendo:

f_y : Límite elástico. (CTE DB SE-A, Tabla 4.1)

$$f_y : \underline{275.00} \text{ MPa}$$

γ_{M0} : Coeficiente parcial de seguridad del material.

$$\gamma_{M0} : \underline{1.05}$$

Resistencia a pandeo lateral: (CTE DB SE-A, Artículo 6.3.3.2)

No procede, dado que las longitudes de pandeo lateral son nulas.

Resistencia a flexión eje Z (CTE DB SE-A, Artículo 6.2.6)

La comprobación no procede, ya que no hay momento flector.

Resistencia a corte Z (CTE DB SE-A, Artículo 6.2.4)

Se debe satisfacer:

$$\eta = \frac{V_{Ed}}{V_{c,Rd}} \leq 1$$

$$\eta : \underline{0.004} \quad \checkmark$$

El esfuerzo solicitante de cálculo pésimo se produce en el nudo N4, para la combinación de acciones 1.35·PP.

V_{Ed}: Esfuerzo cortante solicitante de cálculo pésimo.

$$\mathbf{V_{Ed}} : \underline{1.40} \text{ kN}$$

El esfuerzo cortante resistente de cálculo **V_{c,Rd}** viene dado por:

$$\mathbf{V_{c,Rd}} = A_v \cdot \frac{f_{yd}}{\sqrt{3}}$$

$$\mathbf{V_{c,Rd}} : \underline{322.08} \text{ kN}$$

Donde:

A_v: Área transversal a cortante.

$$\mathbf{A_v} : \underline{21.30} \text{ cm}$$

$$\mathbf{A_v} = h \cdot t_w$$

Siendo:

h: Canto de la sección.

$$\mathbf{h} : \underline{300.00} \text{ mm}$$

t_w: Espesor del alma.

$$\mathbf{t_w} : \underline{7.10} \text{ mm}$$

f_{yd}: Resistencia de cálculo del acero.

$$\mathbf{f_{yd}} : \underline{261.90} \text{ MPa}$$

$$\mathbf{f_{yd}} = f_y / \gamma_{M0}$$

Siendo:

f_y: Límite elástico. (CTE DB SE-A, Tabla 4.1)

$$\mathbf{f_y} : \underline{275.00} \text{ MPa}$$

γ_{M0}: Coeficiente parcial de seguridad del material.

$$\mathbf{\gamma_{M0}} : \underline{1.05}$$

Abolladura por cortante del alma: (CTE DB SE-A, Artículo 6.3.3.4)

Aunque no se han dispuesto rigidizadores transversales, no es necesario comprobar la resistencia a la abolladura del alma, puesto que se cumple:

$$\frac{d}{t_w} < 70 \cdot \varepsilon$$

$$\mathbf{39.24} < \mathbf{64.71} \quad \checkmark$$

Donde:

λ_w: Esbeltez del alma.

$$\mathbf{\lambda_w} : \underline{39.24}$$

$$\mathbf{\lambda_w} = \frac{d}{t_w}$$

λ_{máx}: Esbeltez máxima.

$$\mathbf{\lambda_{máx}} : \underline{64.71}$$

$$\mathbf{\lambda_{máx}} = 70 \cdot \varepsilon$$

ε: Factor de reducción.

$$\mathbf{\varepsilon} : \underline{0.92}$$

$$\mathbf{\varepsilon} = \sqrt{\frac{f_{ref}}{f_y}}$$

Siendo:

f_{ref}: Límite elástico de referencia.

$$\mathbf{f_{ref}} : \underline{235.00} \text{ MPa}$$

f_y: Límite elástico. (CTE DB SE-A, Tabla 4.1)

$$\mathbf{f_y} : \underline{275.00} \text{ MPa}$$

Resistencia a corte Y (CTE DB SE-A, Artículo 6.2.4)

La comprobación no procede, ya que no hay esfuerzo cortante.

Resistencia a momento flector Y y fuerza cortante Z combinados (CTE DB SE-A, Artículo 6.2.8)

No es necesario reducir la resistencia de cálculo a flexión, ya que el esfuerzo cortante solicitante de cálculo pésimo V_{Ed} no es superior al 50% de la resistencia de cálculo a cortante $V_{c,Rd}$.

$$V_{Ed} \leq \frac{V_{c,Rd}}{2}$$

$1.22 \text{ kN} \leq 161.04 \text{ kN}$ ✓

Los esfuerzos solicitantes de cálculo pésimos se producen en un punto situado a una distancia de 0.313 m del nudo N4, para la combinación de acciones 1.35·PP.

V_{Ed} : Esfuerzo cortante solicitante de cálculo pésimo.

V_{Ed} : 1.22 kN

$V_{c,Rd}$: Esfuerzo cortante resistente de cálculo.

$V_{c,Rd}$: 322.08 kN

Resistencia a momento flector Z y fuerza cortante Y combinados (CTE DB SE-A, Artículo 6.2.8)

No hay interacción entre momento flector y esfuerzo cortante para ninguna combinación. Por lo tanto, la comprobación no procede.

Resistencia a flexión y axil combinados (CTE DB SE-A, Artículo 6.2.8)

Se debe satisfacer:

$$\eta = \frac{N_{c,Ed}}{N_{pl,Rd}} + \frac{M_{y,Ed}}{M_{el,Rd,y}} + \frac{M_{z,Ed}}{M_{el,Rd,z}} \leq 1$$

η : 0.090 ✓

$$\eta = \frac{N_{c,Ed}}{\chi_y \cdot A \cdot f_{yd}} + k_y \cdot \frac{C_{m,y} \cdot M_{y,Ed}}{\chi_{LT} \cdot W_{el,y} \cdot f_{yd}} + \alpha_z \cdot k_z \cdot \frac{C_{m,z} \cdot M_{z,Ed}}{W_{el,z} \cdot f_{yd}} \leq 1$$

η : 0.095 ✓

$$\eta = \frac{N_{c,Ed}}{\chi_z \cdot A \cdot f_{yd}} + \alpha_y \cdot k_y \cdot \frac{C_{m,y} \cdot M_{y,Ed}}{W_{el,y} \cdot f_{yd}} + k_z \cdot \frac{C_{m,z} \cdot M_{z,Ed}}{W_{el,z} \cdot f_{yd}} \leq 1$$

η : 0.295 ✓

Los esfuerzos solicitantes de cálculo pésimos se producen en un punto situado a una distancia de 2.500 m del nudo N4, para la combinación de acciones 1.35·PP+1.05·Q+1.5·V(90°)H2+0.75·N(EI).

Donde:

$N_{c,Ed}$: Axil de compresión solicitante de cálculo pésimo.

$N_{c,Ed}$: 109.56 kN

M_{y,Ed}, M_{z,Ed}: Momentos flectores solicitantes de cálculo pésimos, según los ejes Y y Z, respectivamente.	M_{y,Ed}⁺: <u>1.75</u> kN·m
	M_{z,Ed}⁺: <u>0.00</u> kN·m
Clase: Clase de la sección, según la capacidad de deformación y de desarrollo de la resistencia plástica de sus elementos planos, para axil y flexión simple.	Clase: <u>3</u>
N_{pl,Rd}: Resistencia a compresión de la sección bruta.	N_{pl,Rd}: <u>1409.05</u> kN
M_{el,Rd,y}, M_{el,Rd,z}: Resistencia a flexión de la sección bruta en condiciones elásticas, respecto a los ejes Y y Z, respectivamente.	M_{el,Rd,y}: <u>145.90</u> kN·m
	M_{el,Rd,z}: <u>21.09</u> kN·m
Resistencia a pandeo: (CTE DB SE-A, Artículo 6.3.4.2)	
A: Área de la sección bruta.	A: <u>53.80</u> cm
W_{el,y}, W_{el,z}: Módulos resistentes elásticos correspondientes a la fibra comprimida, alrededor de los ejes Y y Z, respectivamente.	W_{el,y}: <u>557.07</u> cm
	W_{el,z}: <u>80.53</u> cm
f_{yd}: Resistencia de cálculo del acero.	f_{yd}: <u>261.90</u> MPa
$f_{yd} = f_y / \gamma_{M1}$	
Siendo:	
f_y: Límite elástico. (CTE DB SE-A, Tabla 4.1)	f_y: <u>275.00</u> MPa
γ_{M1}: Coeficiente parcial de seguridad del material.	γ_{M1}: <u>1.05</u>
k_y, k_z: Coeficientes de interacción.	
$k_y = 1 + 0.6 \cdot \bar{\lambda}_y \cdot \frac{N_{c,Ed}}{\chi_y \cdot N_{c,Rd}}$	k_y: <u>1.02</u>
$k_z = 1 + 0.6 \cdot \bar{\lambda}_z \cdot \frac{N_{c,Ed}}{\chi_z \cdot N_{c,Rd}}$	k_z: <u>1.17</u>
C_{m,y}, C_{m,z}: Factores de momento flector uniforme equivalente.	C_{m,y}: <u>1.00</u>
	C_{m,z}: <u>1.00</u>
χ_y, χ_z: Coeficientes de reducción por pandeo, alrededor de los ejes Y y Z, respectivamente.	χ_y: <u>0.94</u>
	χ_z: <u>0.27</u>
λ̄_y, λ̄_z: Esbelteces reducidas con valores no mayores que 1.00, en relación a los ejes Y y Z, respectivamente.	λ̄_y: <u>0.46</u>
	λ̄_z: <u>1.72</u>
α_y, α_z: Factores dependientes de la clase de la sección.	α_y: <u>0.80</u>
	α_z: <u>1.00</u>

Resistencia a flexión, axil y cortante combinados (CTE DB SE-A, Artículo 6.2.8)

No es necesario reducir las resistencias de cálculo a flexión y a axil, ya que se puede ignorar el efecto de abolladura por esfuerzo cortante y, además, el esfuerzo cortante solicitante de cálculo pésimo **V_{Ed}** es menor o igual que el 50% del esfuerzo cortante resistente de cálculo **V_{c,Rd}**.

Los esfuerzos solicitantes de cálculo pésimos se producen en un punto situado a una distancia de 0.313 m del nudo N4, para la combinación de acciones 1.35·PP.

$$V_{Ed,z} \leq \frac{V_{c,Rd,z}}{2}$$

$$1.22 \text{ kN} \leq 161.04 \text{ kN} \quad \checkmark$$

Donde:

$V_{Ed,z}$: Esfuerzo cortante solicitante de cálculo pésimo.

$$V_{Ed,z} : \frac{1.22}{\quad} \text{ kN}$$

$V_{c,Rd,z}$: Esfuerzo cortante resistente de cálculo.

$$V_{c,Rd,z} : \frac{322.08}{\quad} \text{ kN}$$

Resistencia a torsión (CTE DB SE-A, Artículo 6.2.7)

La comprobación no procede, ya que no hay momento torsor.

Resistencia a cortante Z y momento torsor combinados (CTE DB SE-A, Artículo 6.2.8)

No hay interacción entre momento torsor y esfuerzo cortante para ninguna combinación. Por lo tanto, la comprobación no procede.

Resistencia a cortante Y y momento torsor combinados (CTE DB SE-A, Artículo 6.2.8)

No hay interacción entre momento torsor y esfuerzo cortante para ninguna combinación. Por lo tanto, la comprobación no procede.

1.15 Viga perimetral interior, pórtico interior

Perfil: IPE 80 Material: Acero (S275)						
Nudos	Longitud (m)		Características mecánicas			
	Inicial	Final	Área (cm ²)	I _y ⁽¹⁾ (cm ⁴)	I _z ⁽¹⁾ (cm ⁴)	I _t ⁽²⁾ (cm ⁴)
N12	N20	5.000	7.64	80.10	8.49	0.70
Notas: ⁽¹⁾ Inercia respecto al eje indicado ⁽²⁾ Momento de inercia a torsión uniforme						
		Pandeo		Pandeo lateral		
		Plano XY	Plano XZ	Ala sup.	Ala inf.	
β	0.00	0.00	0.00	0.00	0.00	
L _K	0.000	0.000	0.000	0.000	0.000	
C _m	1.000	1.000	1.000	1.000	1.000	
C ₁	-		1.000			
Notación: β: Coeficiente de pandeo L _K : Longitud de pandeo (m) C _m : Coeficiente de momentos C ₁ : Factor de modificación para el momento crítico						

Barra	COMPROBACIONES (CTE DB SE-A)													Estado		
	$\bar{\lambda}$	λ_w	N _t	N _c	M _y	M _z	V _z	V _y	M _y V _z	M _z V _y	NM _y M _z	NM _z M _y V _z	M _t		M _t V _z	M _t V _y
N12/N20	$\bar{\lambda} < 2.0$ Cumple	x: 0.313 m $\lambda_w \leq \lambda_{w,max}$ Cumple	η = 29.0	η = 21.0	x: 2.5 m η = 4.1	M _{Ed} = 0.00 N.P. ⁽¹⁾	x: 0 m η = 0.4	V _{Ed} = 0.00 N.P. ⁽²⁾	x: 0.313 m η < 0.1	N.P. ⁽³⁾	x: 2.5 m η = 31.4	x: 0.313 m η < 0.1	M _{Ed} = 0.00 N.P. ⁽⁴⁾	N.P. ⁽⁵⁾	N.P. ⁽⁵⁾	CUMPLE η = 31.4
Notación: λ̄: Limitación de esbeltez λ _w : Abolladura del alma inducida por el ala comprimida N _t : Resistencia a tracción N _c : Resistencia a compresión M _y : Resistencia a flexión eje Y M _z : Resistencia a flexión eje Z V _z : Resistencia a corte Z V _y : Resistencia a corte Y M _y V _z : Resistencia a momento flector Y y fuerza cortante Z combinados M _z V _y : Resistencia a momento flector Z y fuerza cortante Y combinados NM _y M _z : Resistencia a flexión y axil combinados NM _z M _y V _z : Resistencia a flexión, axil y cortante combinados M _t : Resistencia a torsión M _t V _z : Resistencia a cortante Z y momento torsor combinados M _t V _y : Resistencia a cortante Y y momento torsor combinados x: Distancia al origen de la barra η: Coeficiente de aprovechamiento (%) N.P.: No procede																
Comprobaciones que no proceden (N.P.): ⁽¹⁾ La comprobación no procede, ya que no hay momento flector. ⁽²⁾ La comprobación no procede, ya que no hay esfuerzo cortante. ⁽³⁾ No hay interacción entre momento flector y esfuerzo cortante para ninguna combinación. Por lo tanto, la comprobación no procede. ⁽⁴⁾ La comprobación no procede, ya que no hay momento torsor. ⁽⁵⁾ No hay interacción entre momento torsor y esfuerzo cortante para ninguna combinación. Por lo tanto, la comprobación no procede.																

Limitación de esbeltez (CTE DB SE-A, Artículos 6.3.1 y 6.3.2.1 - Tabla 6.3)

La esbeltez reducida $\bar{\lambda}$ de las barras comprimidas debe ser inferior al valor 2.0.

$$\bar{\lambda} = \sqrt{\frac{A \cdot f_y}{N_{cr}}}$$

$$\bar{\lambda} < \underline{0.01} \quad \checkmark$$

Donde:

Clase: Clase de la sección, según la capacidad de deformación y de desarrollo de la resistencia plástica de los elementos planos comprimidos de una sección.

Clase : 1

A: Área de la sección bruta para las secciones de clase 1, 2 y 3.

A : 7.64 cm

f_y: Límite elástico. (CTE DB SE-A, Tabla 4.1)

f_y : 275.00 MPa

N_{cr}: Axil crítico elástico de pandeo mínimo, teniendo en cuenta que las longitudes de pandeo son nulas.

N_{cr} : ∞

Abolladura del alma inducida por el ala comprimida (Criterio de CYPE Ingenieros, basado en: Eurocódigo 3 EN 1993-1-5: 2006, Artículo 8)

Se debe satisfacer:

$$\frac{h_w}{t_w} \leq k \frac{E}{f_{yf}} \sqrt{\frac{A_w}{A_{fc,ef}}} \quad 18.32 \leq 240.89 \checkmark$$

Donde:

h_w : Altura del alma.	h_w : <u>69.60</u> mm
t_w : Espesor del alma.	t_w : <u>3.80</u> mm
A_w : Área del alma.	A_w : <u>2.64</u> cm
$A_{fc,ef}$: Área reducida del ala comprimida.	$A_{fc,ef}$: <u>2.39</u> cm
k : Coeficiente que depende de la clase de la sección.	k : <u>0.30</u>
E : Módulo de elasticidad.	E : <u>210000</u> MPa
f_{yf} : Límite elástico del acero del ala comprimida.	f_{yf} : <u>275.00</u> MPa

Siendo:

$$f_{yf} = f_y$$

Resistencia a tracción (CTE DB SE-A, Artículo 6.2.3)

Se debe satisfacer:

$$\eta = \frac{N_{t,Ed}}{N_{t,Rd}} \leq 1 \quad \eta : \underline{0.290} \checkmark$$

El esfuerzo solicitante de cálculo pésimo se produce para la combinación de acciones 0.8·PP+1.5·V(180°)H1.

$N_{t,Ed}$: Axil de tracción solicitante de cálculo pésimo.	$N_{t,Ed}$: <u>57.99</u> kN
--	------------------------------

La resistencia de cálculo a tracción $N_{t,Rd}$ viene dada por:

$$N_{t,Rd} = A \cdot f_{yd} \quad N_{t,Rd} : \underline{200.10} \text{ kN}$$

Donde:

A : Área bruta de la sección transversal de la barra.	A : <u>7.64</u> cm
f_{yd} : Resistencia de cálculo del acero.	f_{yd} : <u>261.90</u> MPa

$$f_{yd} = f_y / \gamma_{M0}$$

Siendo:

f_y : Límite elástico. (CTE DB SE-A, Tabla 4.1)	f_y : <u>275.00</u> MPa
γ_{M0} : Coeficiente parcial de seguridad del material.	γ_{M0} : <u>1.05</u>

Resistencia a compresión (CTE DB SE-A, Artículo 6.2.5)

Se debe satisfacer:

$$\eta = \frac{N_{c,Ed}}{N_{c,Rd}} \leq 1$$

$$\eta : \underline{0.210} \quad \checkmark$$

El esfuerzo solicitante de cálculo pésimo se produce para la combinación de acciones $1.35 \cdot PP + 1.05 \cdot Q + 1.5 \cdot V(90^\circ)H2 + 0.75 \cdot N(EI)$.

$N_{c,Ed}$: Axil de compresión solicitante de cálculo pésimo.

$$N_{c,Ed} : \underline{42.10} \text{ kN}$$

La resistencia de cálculo a compresión $N_{c,Rd}$ viene dada por:

$$N_{c,Rd} = A \cdot f_{yd}$$

$$N_{c,Rd} : \underline{200.10} \text{ kN}$$

Donde:

Clase: Clase de la sección, según la capacidad de deformación y de desarrollo de la resistencia plástica de los elementos planos comprimidos de una sección.

$$\text{Clase} : \underline{1}$$

A: Área de la sección bruta para las secciones de clase 1, 2 y 3.

$$A : \underline{7.64} \text{ cm}$$

f_{yd} : Resistencia de cálculo del acero.

$$f_{yd} : \underline{261.90} \text{ MPa}$$

$$f_{yd} = f_y / \gamma_{M0}$$

Siendo:

f_y : Límite elástico. (CTE DB SE-A, Tabla 4.1)

$$f_y : \underline{275.00} \text{ MPa}$$

γ_{M0} : Coeficiente parcial de seguridad del material.

$$\gamma_{M0} : \underline{1.05}$$

Resistencia a pandeo: (CTE DB SE-A, Artículo 6.3.2)

No procede, dado que las longitudes de pandeo son nulas.

Resistencia a flexión eje Y (CTE DB SE-A, Artículo 6.2.6)

Se debe satisfacer:

$$\eta = \frac{M_{Ed}}{M_{c,Rd}} \leq 1$$

$$\eta : \underline{0.041} \quad \checkmark$$

Para flexión positiva:

El esfuerzo solicitante de cálculo pésimo se produce en un punto situado a una distancia de 2.500 m del nudo N12, para la combinación de acciones $1.35 \cdot PP$.

M_{Ed}^+ : Momento flector solicitante de cálculo pésimo.

$$M_{Ed}^+ : \underline{0.25} \text{ kN}\cdot\text{m}$$

Para flexión negativa:

M_{Ed}^- : Momento flector solicitante de cálculo pésimo.

$$M_{Ed}^- : \underline{0.00} \text{ kN}\cdot\text{m}$$

El momento flector resistente de cálculo $M_{c,Rd}$ viene dado por:

$$M_{c,Rd} = W_{pl,y} \cdot f_{yd}$$

$$M_{c,Rd} : \underline{6.08} \text{ kN}\cdot\text{m}$$

Donde:

Clase: Clase de la sección, según la capacidad de deformación y de desarrollo de la resistencia plástica de los elementos planos de una sección a flexión simple.

Clase : 1

$W_{pl,y}$: Módulo resistente plástico correspondiente a la fibra con mayor tensión, para las secciones de clase 1 y 2.

$W_{pl,y}$: 23.20 cm

f_{yd} : Resistencia de cálculo del acero.

f_{yd} : 261.90 MPa

$$f_{yd} = f_y / \gamma_{M0}$$

Siendo:

f_y : Límite elástico. (CTE DB SE-A, Tabla 4.1)

f_y : 275.00 MPa

γ_{M0} : Coeficiente parcial de seguridad del material.

γ_{M0} : 1.05

Resistencia a pandeo lateral: (CTE DB SE-A, Artículo 6.3.3.2)

No procede, dado que las longitudes de pandeo lateral son nulas.

Resistencia a flexión eje Z (CTE DB SE-A, Artículo 6.2.6)

La comprobación no procede, ya que no hay momento flector.

Resistencia a corte Z (CTE DB SE-A, Artículo 6.2.4)

Se debe satisfacer:

$$\eta = \frac{V_{Ed}}{V_{c,Rd}} \leq 1$$

η : 0.004 ✓

El esfuerzo solicitante de cálculo pésimo se produce en el nudo N12, para la combinación de acciones 1.35·PP.

V_{Ed} : Esfuerzo cortante solicitante de cálculo pésimo.

V_{Ed} : 0.20 kN

El esfuerzo cortante resistente de cálculo **$V_{c,Rd}$** viene dado por:

$$V_{c,Rd} = A_v \cdot \frac{f_{yd}}{\sqrt{3}}$$

$V_{c,Rd}$: 45.97 kN

Donde:

A_v : Área transversal a cortante.

A_v : 3.04 cm

$$A_v = h \cdot t_w$$

Siendo:

h : Canto de la sección.

h : 80.00 mm

t_w : Espesor del alma.

t_w : 3.80 mm

f_{yd} : Resistencia de cálculo del acero.

f_{yd} : 261.90 MPa

$$f_{yd} = f_y / \gamma_{M0}$$

Siendo:

f_y : Límite elástico. (CTE DB SE-A, Tabla 4.1)

f_y : 275.00 MPa

γ_{M0} : Coeficiente parcial de seguridad del material.

γ_{M0} : 1.05

Abolladura por cortante del alma: (CTE DB SE-A, Artículo 6.3.3.4)

Aunque no se han dispuesto rigidizadores transversales, no es necesario comprobar la resistencia a la abolladura del alma, puesto que se cumple:

$$\frac{d}{t_w} < 70 \cdot \varepsilon$$

$$18.32 < 64.71 \quad \checkmark$$

Donde:

λ_w : Esbeltez del alma.

$$\lambda_w : \underline{18.32}$$

$$\lambda_w = \frac{d}{t_w}$$

$\lambda_{m\acute{a}x}$: Esbeltez máxima.

$$\lambda_{m\acute{a}x} : \underline{64.71}$$

$$\lambda_{m\acute{a}x} = 70 \cdot \varepsilon$$

ε : Factor de reducción.

$$\varepsilon : \underline{0.92}$$

$$\varepsilon = \sqrt{\frac{f_{ref}}{f_y}}$$

Siendo:

f_{ref} : Límite elástico de referencia.

$$f_{ref} : \underline{235.00} \text{ MPa}$$

f_y : Límite elástico. (CTE DB SE-A, Tabla 4.1)

$$f_y : \underline{275.00} \text{ MPa}$$

Resistencia a corte Y (CTE DB SE-A, Artículo 6.2.4)

La comprobación no procede, ya que no hay esfuerzo cortante.

Resistencia a momento flector Y y fuerza cortante Z combinados (CTE DB SE-A, Artículo 6.2.8)

No es necesario reducir la resistencia de cálculo a flexión, ya que el esfuerzo cortante solicitante de cálculo pésimo V_{Ed} no es superior al 50% de la resistencia de cálculo a cortante $V_{c,Rd}$.

$$V_{Ed} \leq \frac{V_{c,Rd}}{2}$$

$$0.17 \text{ kN} \leq 22.98 \text{ kN} \quad \checkmark$$

Los esfuerzos solicitantes de cálculo pésimos se producen en un punto situado a una distancia de 0.313 m del nudo N12, para la combinación de acciones 1.35·PP.

V_{Ed} : Esfuerzo cortante solicitante de cálculo pésimo.

$$V_{Ed} : \underline{0.17} \text{ kN}$$

$V_{c,Rd}$: Esfuerzo cortante resistente de cálculo.

$$V_{c,Rd} : \underline{45.97} \text{ kN}$$

Resistencia a momento flector Z y fuerza cortante Y combinados (CTE DB SE-A, Artículo 6.2.8)